

Autoreferát disertační práce

**Korelace intrakraniálního tlaku a dalších  
vyšetřovaných parametrů u kontuzí mozku**

**The correlation of intracranial pressure and next  
investigative parameters at the cerebral contusion**

**MUDr. Ivan Škúci**

Autoreferát disertační práce

**Univerzita Karlova v Praze  
Lékařská fakulta v Plzni**

Plzeň 2007

**Univerzita Karlova v Praze  
Lékařská fakulta v Plzni**

**MUDr. Ivan Škúci**

**Korelace intrakraniálního tlaku a dalších  
vyšetřovaných parametrů u kontuzí mozku**

**The correlation of intracranial pressure and next  
investigative parameters at the cerebral contusion**

Autoreferát disertační práce  
Obor: Neurochirurgie

Plzeň 2007

Disertační práce byla vypracována v rámci kombinované formy postgraduálního studia na Neurochirurgickém oddělení FN a LF UK v Plzni.

**Doktorand:**

**MUDr. Ivan Škúci**

Neurochirurgické oddělení FN a LF UK v Plzni

**Školitel:**

**Prim. MUDr. Milan Choc, CSc.**

Neurochirurgické oddělení FN a LF UK v Plzni

**Oponenti:**

**Doc. MUDr. Novák Zdeněk, CSc.**

Neurochirurgická klinika FN u sv. Anny, Brno

**Doc. MUDr. Smrčka Martin, PhD.**

Neurochirurgická klinika FN Brno – Bohunice

Autoreferát rozeslán dne : .....

Obhajoba disertace se koná před komisí pro obhajoby disertačních prací z oboru neurochirurgie na Chirurgické klinice LF UK a FN v Plzni dne .....2007 v ....hodin.

Stanoviska k disertaci vypracovala Lékařská fakulta UK v Plzni.

S disertační prací je možno se seznámit na děkanátě LF UK v Plzni, Husova 3, Plzeň..

Prof. MUDr. Vladislav Třeška, DrSc.  
předseda komise pro obhajoby disertačních prací  
v oboru chirurgie

# I. Úvod

## I.1. Epidemiologie poranění hlavy

V posledních třiceti letech představují mozková poranění druhou nejčastější afekci CNS, když na prvním místě jsou cerebrovaskulární onemocnění. V roce 1990 v USA utrpělo 1 975 000 obyvatel poranění mozku, pro které museli být ošetřeni, 373 000 bylo hospitalizovaných a 75 000 zemřelo, incidence se pohybovala v průměru mezi 180 – 220 zraněnými / 100 000 obyvatel / rok, mortalita traumat mozku kolísá v průměru 14-30 úmrtí /100 000 obyvatel / rok (5).

Dle statistických údajů z Ústavu zdravotnických informací a statistiky ČR je u nás za rok v průměru hospitalizovaných 36 000 osob s nitrolebečním poraněním se stoupajícím trendem. Největší podíl mají pacienti s komocí mozku (87,5 procenta), difuzních poranění a kontuzí jsou 3,9 - 4 procenta, subdurálních hematomů 3 procenta, epidurálních hematomů 1,5 procenta. Mortalita je v rozmezí 20-21 případů / 100 000 obyvatel / rok, t.j. celkem 1750 –1800 úmrtí na kraniocerebrální poranění v ČR za rok, nejčastěji na difuzní poranění a kontuzi mozku, asi ve 300 - 325 případech.

Mozková poranění v 50-66 % doprovází poranění jiného orgánového systému. Mortalita polytraumatizovaných pacientů je mezi 35 - 50 % (7).

Dopravní úrazy jsou na prvním místě příčin mozkových poranění (6, 8-15). Na druhém místě jsou pády zvláště v dětském věku a u starších lidí. Pracovní úrazy s poraněním mozku jsou na třetím místě.

Nejrizikovější věkovou skupinou jsou osoby ve věku 15 – 24 let, následuje mírný pokles se vzestupem ve věkové kategorii 60-65 let, kdy polymorbidita zvyšuje mortalitu.

Studie (5,8 - 13) opakovaně potvrzují převahu mužů nad ženami v poměru 2,0-2,8:1, v průměru 2,3:1.

Alkohol přispívá zvýšenému riziku příčin vzniku mozkových poranění. Dle Krause a spol. (16) až 56 % osob s mozkovým poraněním mělo pozitivní nález alkoholu v krvi.

## II. Patofyziologie poranění mozku

### II.1. Patofyziologie kontuze mozku

Většina poranění lbi a mozku se kombinuje, zranění postihuje více struktur najednou. Posuzování komplexu kraniocerebrálního poranění je proto složité, obzvláště u zavřeného více ložiskového poranění mozku, a je možné na základě sledování dynamiky jeho klinického, metabolického a morfologického vývoje.

V současné době traumatologie mozku operuje s pojmy:

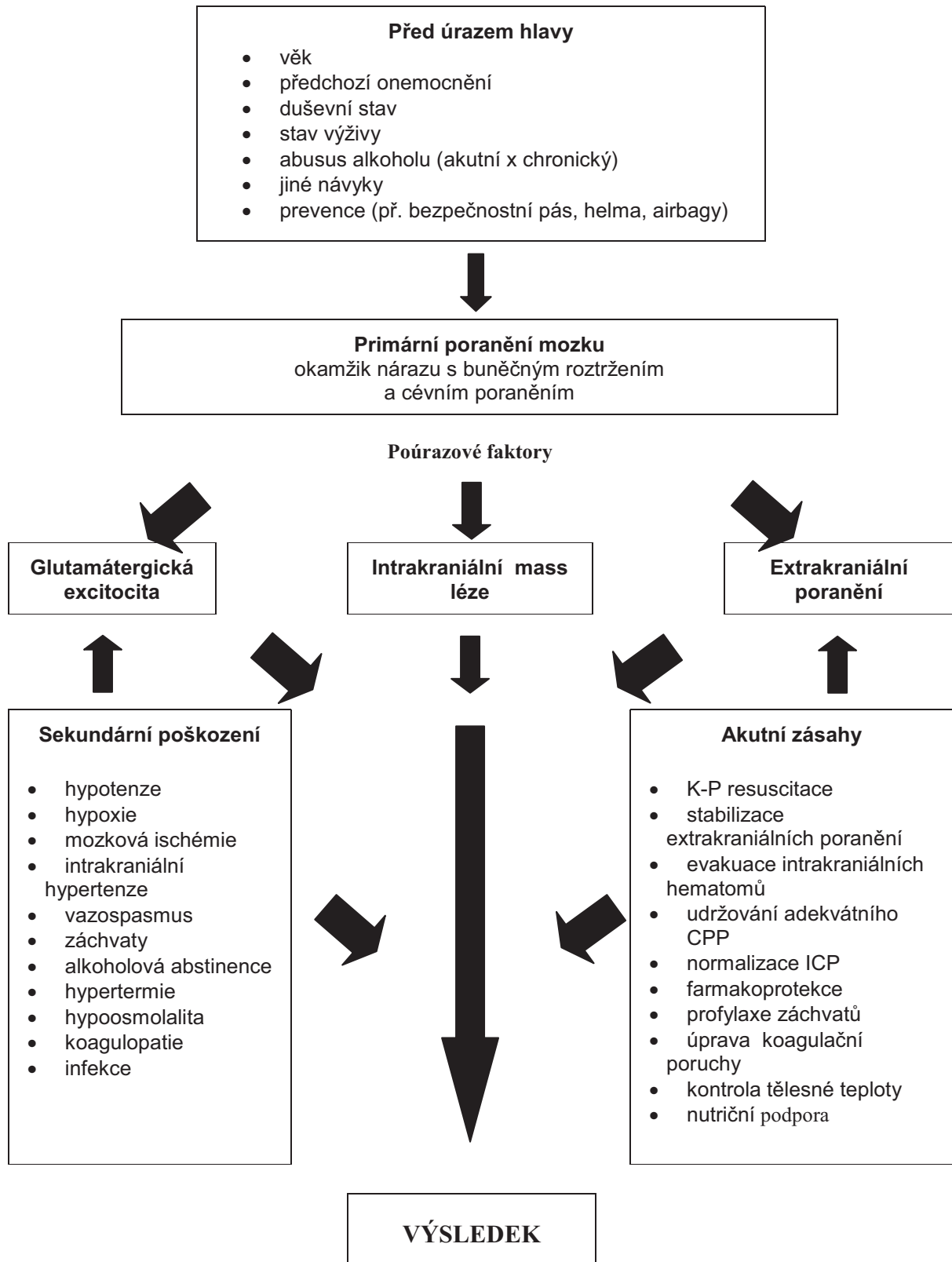
- primární a sekundární poranění
- fokální a difuzní poranění.

Primární poranění vzniká ve chvíli úrazu a může způsobit fokálně kontuzi mozku a akutní intracerebrální hematom, difuzně otřes mozku a difuzní axonální poranění. Sekundární poranění mozku vzniká rozvojem následného mozkového edému, zvýšením nitrolebečního a snížením perfuzního tlaku, změnou molekulárních a biochemických regulací mozku, negativně působí porucha systémových vlivů (hypotenze, hypoxie). Léčba kraniocerebrálních poranění je zaměřena na prevenci a léčbu sekundárních poranění mozku.

Kontuze mozku je primárním ložiskovým poraněním mozku s makroskopicky patrnými anatomickými změnami prokazatelnými grafickými vyšetřovacími metodami (počítačová tomografie). Ke kontuzím predisponuje baze čelních laloků a póly temporálních laloků. V místě zhmoždění vznikají krvácení z poškozených cév, jejich trombózy a následný otok mozkové tkáně. Někde převažuje kontuzní složka, jinde hemoragická složka, či intracerebrální hematom, který je v CT obraze hyperdenzní lézí. Přechody mezi oběma lézemi jsou časté. Nezřídka jsou kontuze vícečetné.

Primární poranění mozku se může sekundárně zvětšit poruchami lokálních regulačních mechanismů, především mozkové mikrocirkulace, tkáňového metabolismu a vlivem celkových faktorů

**Obr. 1. Schématické znázornění faktorů a intervencí, které mají vliv na výsledek před a po traumatickém poranění mozku.** (Převzato z Vollmer DG, Prognosis and outcome of severe head injury, in Cooper PR(ed): Head injury, 3. vyd., 1993)



– hypotenze, hypoventilace, hypoxie a dalších. Mozkový edém a intrakraniální tlak tak narůstá. Rozvíjí se kaskáda sekundárního poškození mozku, jejímž výsledkem je různě rozsáhlá mozková ischemie. Sekundární inzulty přicházejí v následujících minutách, hodinách a dnech po primárním poranění (27). Schéma dle Vollmera (44) (Obr. 1.) ukazuje vliv primárních opatření a možných sekundárních faktorů na konečný výsledek poranění mozku.

## II.2. Nitrolebeční tlak (ICP)

### II.2.1. Patofyziologie nitrolebečního tlaku

Velikost, změny a regulace nitrolebečního tlaku u sekundárního ischemického poškození mozku patří mezi faktory determinující výsledný stav léčby mozkového poranění (51-56).

### II.2.2. Měření a indikace intrakraniálního tlaku

Monitorování ICP popsali již v roce 1950 Guillaume a Janny (67) a standardizoval Nils Lundberg v roce 1960 (69). Měření ICP a jeho indikace má určité limity:

1. Metoda invazivní využitelná po poměrně krátkou dobu (7-10 dní).
2. Některé monitorovací systémy jsou nepřesné.
3. Neexistuje konsenzus v pohledu na roli zvýšeného ICP v komplexu patofyziologických pochodů poškozujících mozek po kraniocerebrálních poraněních.
4. Omezené možnosti pro léčení ICP (67).

Přes tyto limitující faktory je měření ICP důležitou a užitečnou technikou, která může významně pomáhat při volbě léčebných postupů u pacientů ohrožených sekundárním poškozením mozku. Naměřená hodnota ICP v kontextu s dalšími informacemi nepřímo vypovídá o aktuálním CPP (perfuzní tlak mozku).

#### Hodnoty nitrolebečního tlaku a jejich patofyziologické dopady:

Norma u ležícího

- dospělý 10 -15 mm Hg/1,3-1,95 kPa / 140-200 mm H<sub>2</sub>O (68)
- novorozenec 3 mm Hg/ 0,39 kPa
- dítě 1-5 let 5 mm Hg/0,65 kPa (73)

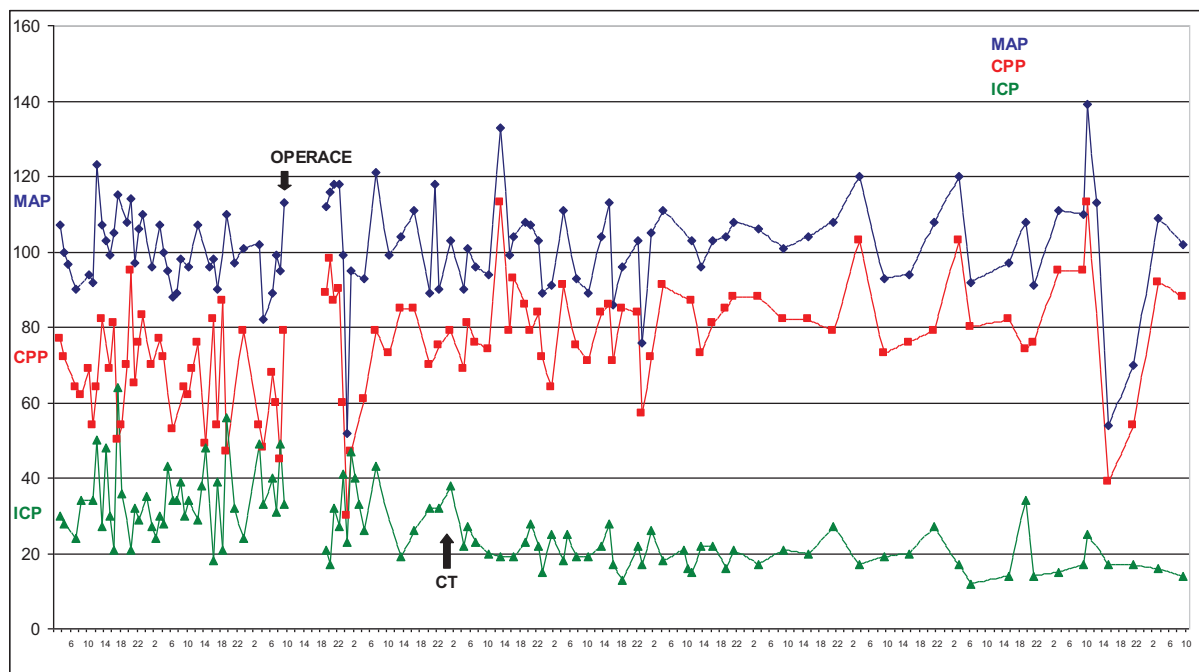
ICP	> 20 mm Hg/2,6 kPa	snížení mikrocirkulace
	> 40 mm Hg/5,2 kPa	snížení venózního odtoku roste edém mozku roste objem krve roste hypoxie
	> 60 mm Hg/8,8 kPa	snížení perfuzního tlaku roste ischemie roste cytotoxický edém ireverzibilní ischemické změny (74).

Vzestup ICP je časnější než nástup deteriorace klinického stavu. Příčinou vzniku kmenové symptomatologie a smrti neurochirurgických pacientů je proběhlá perioda zvýšení ICP, nebo progresivní vzestup ICP s transtentoriální a nakonec okcipitální hernií. ICP patří do souboru technik multimodálního monitorování kontinuálně sledujícího intrakraniální poměry a pochody, které zlepšují naše znalosti o patogenezi sekundárního poškození mozku u pacientů po těžkém kraniocerebrálním poranění.

### II.2.3. Zvýšený nitrokraniální tlak, mozkový perfuzní tlak (CPP) a průtok krve mozkem (CBF)

Vztah mezi ICP, CPP a CBF je komplexní a dynamický. Graf 1. zachycuje jejich vzájemný vývoj u jednoho z pacientů s kontuzí mozku v souboru zraněných hodnocených ve III. kapitole. Pro neúčinnou konzervativní léčbu vysokého ICP 3. den po úrazu vzestup intrakraniálního tlaku na trvalé hodnoty přes 40mm Hg, sledován poklesem mozkového perfuzního tlaku (CPP) a mírně i středního arteriálního tlaku (MAP), po neurochirurgické evakuaci expanzivně se chovající kontuze v dalším průběhu postupný pokles nitrolebečního tlaku pod hodnoty 20 mm Hg. Patrný je vzestup hodnot CPP nad 70 mm Hg a hodnot MAP nad 90 mm Hg.

Zásadně dodávka kyslíku a energetického substrátu cestou krevního proudu klesá se stoupajícím tlakem v lebce. CPP představuje tlakový gradient přestupující přes cerebrovaskulární bariéru a proto je důležitým faktorem podmiňujícím mozkový krevní průtok, dodávku kyslíku a transport metabolitů.



**Graf 1.: Vzájemný vztah ICP, CPP a MAP při intrakraniální hypertenzi a její léčbě u pacienta s kontuzí mozku z vyšetřovaného souboru. (Podrobněji v textu).**

Mnoho autorů považuje CPP za podstatnější ve vývoji sekundárního ischemického poškození než nitrolebeční tlak (57). Hodnota CPP je rozdíl mezi arteriálním a venózním tlakem. Protože je tlak v kortikálních vénách jen nepatrně vyšší než atmosférický, vypočítá se CPP jako rozdíl středního arteriálního tlaku (MABP) a intrakraniálního tlaku (ICP):

$$\text{CPP} = \text{MABP} - \text{ICP}.$$

U pacientů s kraniocerebrálním poraněním je snaha udržovat CPP nad 70 mm Hg, lépe nad 80 mm Hg.

CPP má vztah k mozkovému krevnímu průtoku (CBF). Vztah CPP a CBF vyjadřuje tzv. autoregulační křivka. V rozmezí CPP 40-160 mm Hg se CBF nemění, pod CPP 40 mm Hg se CBF výrazně snižuje (71).

## II.2.4. Monitorování nitrolebečního tlaku a prognóza po těžkých kraniocerebrálních poraněních

Klinické studie (30,51,54,69,76-79) prokázaly, že nejméně u 40% pacientů, kteří byli v bezvědomí po těžkém kraniocerebrálním poranění se při monitorování zvyšoval ICP. Většina těchto pacientů měla expanzivně se chovající léze. Ke zvýšení ICP dochází i u 30% pacientů bez expanzivní léze na CT. 60% zemřelých po těžkém kraniocerebrálním poranění mělo zvýšený ICP při monitorování (53).

### Trvání monitorování ICP

Rozvaha o nutné délce sledování ICP musí být individuální a zohledňuje nebezpečí infekce. Její riziko stoupá po 3 dnech od zavedení drenáže. Při monitorování ICP pro řízení antiedematózní terapie osmotické, ventilační a barbiturátové je běžné sledování v trvání 7-10 dnů. Nebezpečí infekce je vyšší a mělo by mu být předcházeno (80,81).

### Metody monitorování

V současné době je z hlediska technologie měření ICP nejvhodnější intraventrikulárně zavedený katetr se snímačem tlaku. Katetr umožňuje odvod moku ke snížení ICP a současně biochemický a bakteriologický rozbor (82). Při nemožnosti zavedení intraventrikulárního katetru je standardem intracerebrálně zavedené čidlo měření ICP, udává stejné hodnoty (83).

## II.3. Biochemie mozkového poranění

Rozhodujícím patofyziologickým činitelem rozvoje sekundárního postižení mozku po úrazu je sekundární porucha hematoencefalické bariéry (BBB – blood brain barrier) (84) s výpadem funkcí membrán závislých na přívodu kyslíku a energie (88), což vede k metabolické poruše nervové buňky a nakonec k její smrti (85). Narušení celistvosti a fyziologické funkce BBB, projevující se zvýšením transendoteliálního transportu, je způsobeno mechanickým a hypoxickým poškozením mozkové tkáně, vasogenním edémem (86) nebo zvýšeným nitrolebečním tlakem.

V metabolismu hypoxické mozkové tkáně dochází ke snížení získávání energie oxidativní fosforylací a nabývá převahy anaerobní glykolýza s následným excesivním hromaděním laktátu. Na vznikající laktacidóze už v akutní fázi traumatu mají pravděpodobně podíl postraumaticky uvolněné excitatorní aminy (89). Energeticky náročné Na<sup>+</sup> / K<sup>-</sup> ATP pumpě chybí energie na obnovení buněčné homeostázy. Natriové ionty se koncentrují uvnitř buňky strhávajíc s sebou vodu a káliové ionty vně buňky. Chybí energie k proteosyntéze. V této fázi je nervová buňka citlivější k sekundárním inzultům. Pokračující karence kyslíku, laktátová acidóza, aktivovaná lipolýza s produkcí volných mastných kyselin a jimi generovaných volných radikálů vede v konečném důsledku k dezintegraci buněčných membránových systémů a ke smrti buňky (90).

Ve složitě patogeneze traumatu mozkové buňky existují místa, kde by byl možný terapeutický vstup k zabránění smrti mozkové buňky rozvinutím apoptotické kaskády jejího sekundárního poškození. Je to ovlivnění kalciových kanálů jejich blokádou a také presynaptická blokáda uvolnění excitatorních aminů (107), neutralizace volných radikálů antioxidanty vnitřními (vitaminy E,A,C) a zevními (superoxiddismutáza, lazaroidy) (106). Zkoumá se účinek cytokinů (interleukin-1, interleukin-6, tumor necrosis factor) (108-116) na deaktivaci excitatorních aminů, účinek hormonů (katecholaminy, glucagon, kortizol, inzulin, růstový hormon) a růstových faktorů na proteo- a liposyntézu (117).

## III. Korelace intrakraniálního tlaku a vyšetřovaných biochemických parametrů u kontuzí mozku

### III. 1. Cíl práce

Stanovit prognózu těžkého kraniocerebrálního poranění, zvláště kontuze mozku, která má dynamický vývoj, je velmi těžké. Je to možné jen kontinuálním multimodálním monitorováním dynamiky vývoje kontuzního ložiska a změn celkového klinického stavu signalizujících sekundární poškození mozku.



Vztah mezi intrakraniálním tlakem (ICP), mozkovým perfuzním tlakem (CPP) a mozkovým krevním průtokem (CBF) je komplexní a dynamický. Zásadně dodávka kyslíku a energetického substrátu cestou krevního proudu klesá s rostoucím tlakem v lebce. Pochopení patofyziologických souvislostí je důležité pro adekvátní vedení diagnostického a léčebného procesu.

Rozsáhlé nebo vícečetné kontuze mozku s perifokálním či difúzním edémem jsou provázené vzestupem intrakraniálního tlaku, mozkovou hypoxií, ischemií, hromaděním laktátu, iontovými dysbalancemi a stresovou odpovědí, která zahrnuje hyperglykémii.

**Cílem práce bylo posoudit vzájemný vztah vstupných hodnot Glasgow Coma Scala (GCS), intrakraniálního tlaku a vyšetřovaných biochemických hodnot (natrium, kalium, osmolalita, laktát) po úrazu mozku při přijetí, zhodnocení jejich prediktivního významu na prognózu a Glasgow Outcome Scale (GOS) u pacientů s těžkou kontuzí mozku s GCS ≤ 8.**

### **III.2. Soubor a metodika**

Do studie bylo zahrnuto 51 pacientů s kontuzí mozku, s podmínkou vstupní poruchy vědomí v rozpětí GCS 3-8 (235). Pacienti, kteří splnili při přijetí do nemocnice klinická kritéria smrti mozku byli vyloučeni ze studie, stejně tak pacienti se současnými rozsáhlými extrakraniálními poraněními se smrtí do 24 hod. od přijetí do nemocnice. Vyloučeni byli také pacienti s diabetes mellitus a hemodialyzovaní. Mužů bylo 39 a žen 12. Věkové rozpětí 7 – 77 let, průměrně 40,5 roku, u mužů 41,4 roku a u žen 37,7 roku (Tab. 2.). Tito zranění byli léčeni na jednotce intenzivní péče neurochirurgického oddělení nebo na anesteziologicko resuscitační klinice ve Fakultní nemocnici v Plzni v letech 2000 – 2005. Všichni nemocní byli v době přijetí do nemocnice v bezvědomí, s různým charakterem odpovědi na algický podnět. Porucha vědomí v přednemocniční fázi vyžadovala intubaci, řízenou ventilaci, analgosedaci a eventuelní následnou myorelaxaci. Izolované poranění s kontuzí mozku mělo 21 zraněných, polytrauma s dominující kontuzí mozku 30 zraněných, z nichž 21 zraněných mělo současné poranění plic. V přednemocničním období orientačně lékařem – záchranářem a při přijetí na Emergency FN v Plzni do 3 hodin od vzniku úrazu hlavy byl neurochirurgem komplexně zhodnocen neurologický stav zraněného s kraniocerebrálním poraněním krátkodobým vysazením nebo antagonizací farmak ovlivňujících stav vědomí (tzv. diagnostické okno). K lokalizaci jednoho nebo více kontuzních ložisek mozku byl použit 64 - detektorový CT přístroj firmy Siemens. V rámci vstupního celkového vyšetření provedeno CT vyšetření celé páteře, hrudníka a břicha, biochemické vyšetření krve – krevní obraz, hemokoagulace, glykémie, S-natrium, S-kalium, S-chlor, S-osmolalita, laktát, celková bílkovina, albumin, urea, jaterní transaminázy, urea, krevní plyny dle Astrupa. V moči – chemizmus (osmolarita, U- natrium, U-kalium, U-chloridum) a sediment. U všech pacientů bylo neurochirurgem zavedeno ICP čidlo a kontinuální měření ICP. V prvních 3-5 dnech kontinuálního měření ICP bylo laboratorní vyšetření iontů, osmolarity, laktátu krve prováděno minimálně po 4 hodinách, iontů a osmolarity moči ve 4-8 hod. intervalech, krevní plyny (arteriální) po 8 hodinách, krevní obraz po 8-12 hod., eventuálně dle vývoje; hemokoagulace, jaterní testy, celková bílkovina, albumin, urea 1 x denně. V dalším průběhu bylo prováděno kontrolní laboratorní vyšetření krve a moči 1x12-24 hodin. (Tab. 2.)

#### **Tab. 2. Přehled souboru**

*Vstupní hodnoty jsou získány v intervalu 1-3 hod. od úrazu nebo zjištění GCS ≤ 8 a konečné hodnoty bezprostředně před zrušením měření ICP, v průměru 8. den po zavedení čidla a měření ICP.*

Pacient číslo	věk	pohlaví	vstupní GCS	konečné GCS	mono kontuze	polytrauma	vstupní ICP	konečné ICP	vstupní laktát	konečný laktát
1	53	M	5	15	-	+	12	7	1,32	1,26
2	50	M	6	15	-	+	20	10	2,85	0,59
3	25	M	3	14	-	+	15	5	0,65	1,32
4	47	M	7	15	+	-	2	11	2,70	3,87
5 †	44	M	3	3	+	-	50	3	8,33	2,26
6	74	M	5	5	+	-	21	8	1,29	0,86
7	54	M	3	4	+	-	13	16	8,17	4,01
8 †	45	M	4	3	+	-	6	88	3,42	3,03
9	56	Ž	6	13	-	+	5	11	2,47	1,24
10	37	M	5	13	-	+	15	35	3,59	1,64
11	60	Ž	5	6	-	+	5	11	2,39	0,95
12	77	M	8	11	-	+	24	11	1,71	0,86
13	12	M	7	15	-	+	6	8	1,32	1,26
14	30	M	8	15	-	+	40	35	3,37	1,48
15	58	Ž	8	15	-	+	10	2	0,88	0,73
16	7	M	4	15	-	+	22	13	2,85	0,59
17	58	M	3	14	-	+	22	18	1,40	0,86
18	14	Ž	5	15	-	+	7	8	3,46	1,59
19	11	Ž	3	14	+	-	20	5	5,90	0,89
20	9	M	5	10	-	+	10	1	1,26	0,82
21	7	M	3	15	-	+	10	14	2,83	0,59
22	40	M	3	13	-	+	25	15	2,14	0,56
23	34	M	3	11	+	-	10	11	0,65	1,32
24	43	M	5	4	-	+	20	9	6,05	2,87
25	28	M	3	5	-	+	30	6	6,25	1,06
26	22	M	5	15	-	+	11	9	5,60	0,73
27	33	M	5	15	-	+	22	14	2,47	0,95
28	64	M	7	11	+	-	8	9	2,43	0,82
29	51	Ž	8	15	+	-	26	4	2,85	0,59
30	26	M	8	14	+	-	25	5	1,70	1,30
31	22	M	6	15	-	+	14	6	1,40	0,86
32	57	Ž	3	15	+	-	34	14	6,76	2,01
33	55	M	8	14	+	-	7	1	1,65	0,86
34	44	M	4	4	+	-	18	9	1,08	7,50
35	42	M	6	4	+	-	58	3	5,97	2,79
36	36	Ž	5	15	+	-	3	4	3,37	1,48
37	51	Ž	3	12	+	-	18	10	1,58	0,96
38	19	Ž	8	15	-	+	6	16	2,16	2,49
39 †	30	M	4	3	-	+	8	42	4,08	3,25
40	47	M	3	13	-	+	13	19	2,98	2,05
41	62	M	8	15	+	-	17	8	0,93	0,79
42	56	M	3	15	-	+	4	1	2,78	1,67
43 †	48	M	6	3	+	-	40	99	8,42	2,36
44 †	54	M	5	3	-	+	65	122	5,48	4,64
45	35	M	6	15	+	-	25	4	1,94	0,69
46 †	20	Ž	3	3	-	+	58	2	2,35	2,11
47	44	M	3	14	+	-	8	10	1,40	0,86
48 †	20	Ž	3	3	-	+	30	70	3,42	3,03
49 †	29	M	7	3	+	-	35	40	3,37	3,25
50	76	M	6	4	-	+	15	27	6,25	1,06
51	52	M	8	15	+	-	41	14	2,49	1,01

pacient číslo	vstupní glykemie	konečná glykemie	vstupní Na+	konečné Na+	vstupní K+	konečné K+	vstupní Osmol	konečné Osmol	GOS	Karnofsky
1	9,3	5,4	133	141	4,9	4,2	281	275	4	90
2	9,9	5,6	129	137	3,4	4,4	294	294	4	90
3	8,2	5,8	141	139	3,7	4,4	285	284	3	50
4	9,6	5,0	138	140	3,8	4,3	293	274	5	80
5 †	11,9	7,7	137	140	3,2	3,9	302	293	1	0
6	10,1	7,1	139	134	4,2	4,2	308	291	2	30
7	8,5	5,3	132	140	3,1	4,3	295	297	2	10
8 †	7,4	6,2	136	168	4,3	7,4	286	368	1	0
9	6,8	7,2	140	145	3,2	4,0	301	314	3	40
10	6,2	5,3	143	148	4,3	3,8	296	322	4	60
11	9,1	4,6	142	138	3,8	4,5	298	288	2	10
12	9,8	6,1	143	146	4,6	4,2	287	306	3	30
13	4,8	5,8	138	142	3,7	4,1	287	294	5	90
14	7,0	7,4	143	142	3,9	4,2	319	300	4	70
15	6,8	5,4	139	145	3,7	4,3	292	299	4	70
16	8,3	4,9	142	142	3,3	3,9	291	295	5	90
17	7,4	5,5	122	137	3,7	4,5	256	287	4	70
18	9,8	4,7	139	137	3,1	4,3	294	285	4	70
19	5,9	5,0	142	142	2,9	4,0	301	299	4	70
20	6,5	6,2	139	137	3,8	4,5	288	282	4	60
21	10,8	5,2	136	141	4,3	4,2	302	292	5	100
22	7,7	5,4	146	138	3,4	4,7	297	287	4	70
23	10,9	6,0	139	136	4,0	3,8	302	297	3	50
24	15,5	5,3	141	139	3,7	4,6	311	291	2	20
25	12,6	5,4	139	147	3,4	3,9	297	311	2	20
26	9,7	6,3	137	133	3,0	4,0	308	271	5	100
27	10,0	9,3	143	136	4,1	4,2	320	281	3	40
28	9,6	4,2	139	138	4,5	4,5	294	279	3	40
29	7,8	4,8	145	135	3,8	4,5	296	289	5	90
30	16,2	5,6	140	143	4,7	4,8	328	297	4	70
31	6,3	5,4	144	142	4,2	4,9	290	300	4	70
32	10,7	6,2	143	141	3,6	3,1	302	291	5	80
33	8,1	4,4	143	141	3,8	3,8	294	290	4	70
34	6,7	6,0	148	144	3,7	4,0	324	300	2	20
35	7,9	5,4	141	136	3,1	4,0	316	278	2	20
36	9,4	4,9	141	142	3,3	4,4	296	298	4	70
37	11,4	8,1	142	137	3,9	4,4	297	297	4	70
38	6,5	5,2	137	135	3,0	3,5	291	276	5	90
39 †	10,2	6,3	139	148	4,1	4,1	301	322	1	0
40	8,8	5,2	144	141	4,2	4,4	308	305	4	70
41	7,6	6,9	139	151	3,8	6,4	291	331	4	70
42	7,7	7,6	143	141	4,0	4,4	299	310	4	70
43 †	5,9	9,0	139	164	3,9	3,6	326	359	1	0
44 †	12,2	7,5	134	148	3,7	4,3	308	330	1	0
45	9,0	6,8	144	138	3,9	3,9	366	288	5	90
46 †	9,0	8,0	138	154	4,6	3,5	295	328	1	0
47	8,0	4,3	138	142	3,0	3,8	288	298	3	60
48 †	7,4	6,2	136	139	3,3	4,0	302	293	1	0
49 †	8,2	5,8	137	140	3,2	3,9	302	293	1	0
50	10,1	7,1	148	144	3,7	4,0	324	300	2	20
51	8,0	6,7	147	139	4,3	4,0	308	292	4	80

Pro expanzivní chování kontuzního ložiska, perifokální, hemisferální nebo celkový edém mozku dle příjmového nebo aktuálního CT vyšetření mozku při poruše vědomí s GCS  $\leq$  8 bylo neurochirurgem zavedeno čidlo k měření ICP z trepanace na straně kontuze v typické lokalizaci 2 cm parasagitálně od střední čáry před koronárním švem ve vlasaté části hlavy. Přednostně, při zřetelné náplni a velikosti postranní komory do jejího frontálního rohu, jinak intracerebrálně do hloubky 2-3 cm (čidlo s fibrooptickým snímačem fiGodman nebo Johnsson and Johnsson). Intrakraniální tlak následně převeden na zobrazovací monitor a kontinuálně snímán po dobu minimálně 5 dní, buď do jeho normalizace (v průměru 8 dní) nebo do vyčerpání všech léčebných opatření se zhroucením krevního průtoku a smrti mozku.

**Chirurgickou léčbu kontuze mozku jsme indikovali:**

- pro trvalý ICP > 20 torr nereagující na dosavadní konzervativní terapii (viz Graf 1.),
- klesající CPP pod hodnoty 70 torr,
- expanzivně se chovající kontuzní ložisko spojené s posunem střední čáry.

V rámci základního multimodálního monitoringu vývoje kontuzního ložiska byla sledována u každého pacienta: srdeční frekvence, EKG, dechová frekvence, pulzní oxymetrie (SpO<sub>2</sub>), intraarteriální krevní tlak, end-expirační koncentrace oxidu uhličitého (ETCO<sub>2</sub>), tělesná teplota, celkový příjem a výdej tekutin.

Dynamika změn těchto parametrů byla korelována s klinickým výsledkem léčby - Glasgow Outcome Scale (GOS) – za 6 měsíců od skončení léčby (236).

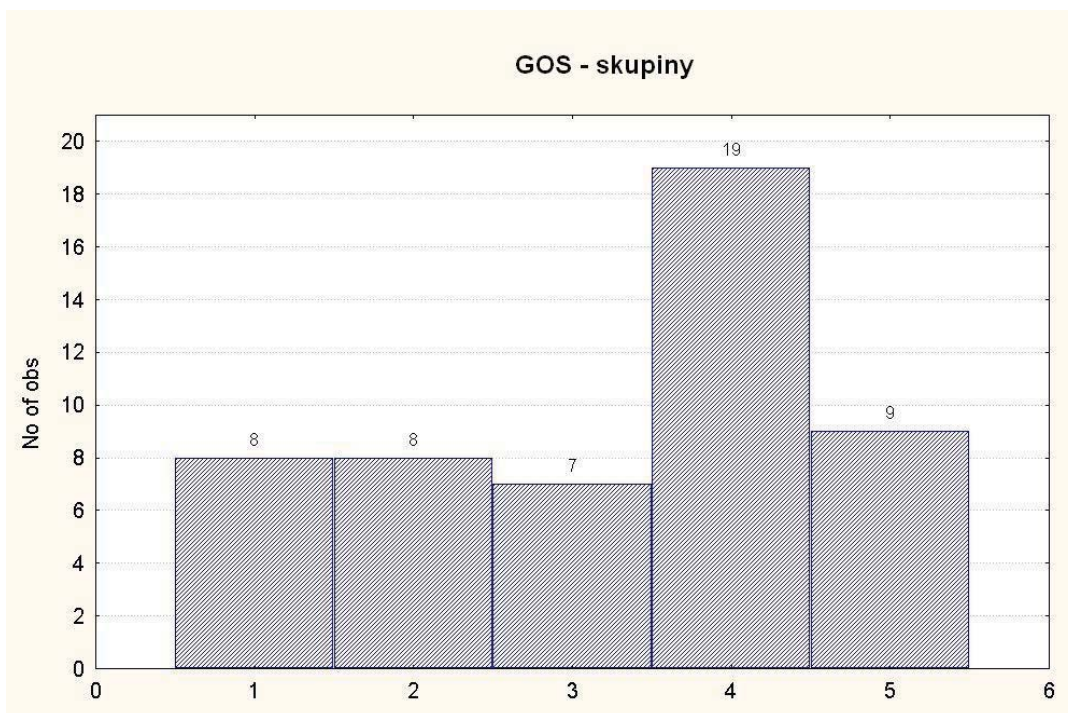
### III.3. Výsledky

#### III.3.1. Výsledky ve vztahu ke Glasgow Outcome Scale

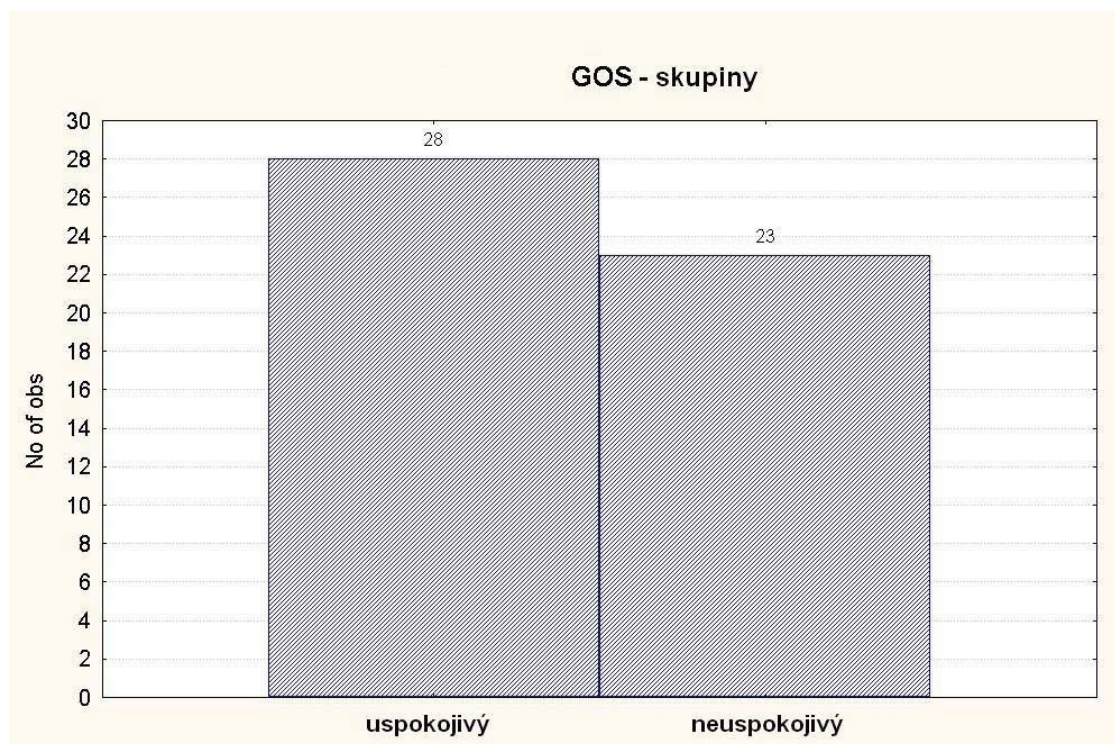
Příznivého neurologického výsledku (GOS 4-5) bylo dosaženo u 28 pacientů t.j. 54,9%, nepříznivého (GOS 1-3) u 23 pacientů t.j. 45,1%, z nichž zemřelo 8 pacientů t.j. 15,7% (Tab. 3., Graf 2. a 3.). U celého souboru průměrně GOS 3,27, u 43 přeživších průměrný GOS 3,7. U přeživších pacientů průměrná konečná GCS 11. Průměrná hodnota skóre Karnofsky 51,6, u 43 přeživších pacientů 61,2. (Graf 4. a 5.)

**Tab. 3. Přehled základních dat souboru pacientů s GCS 3-8**

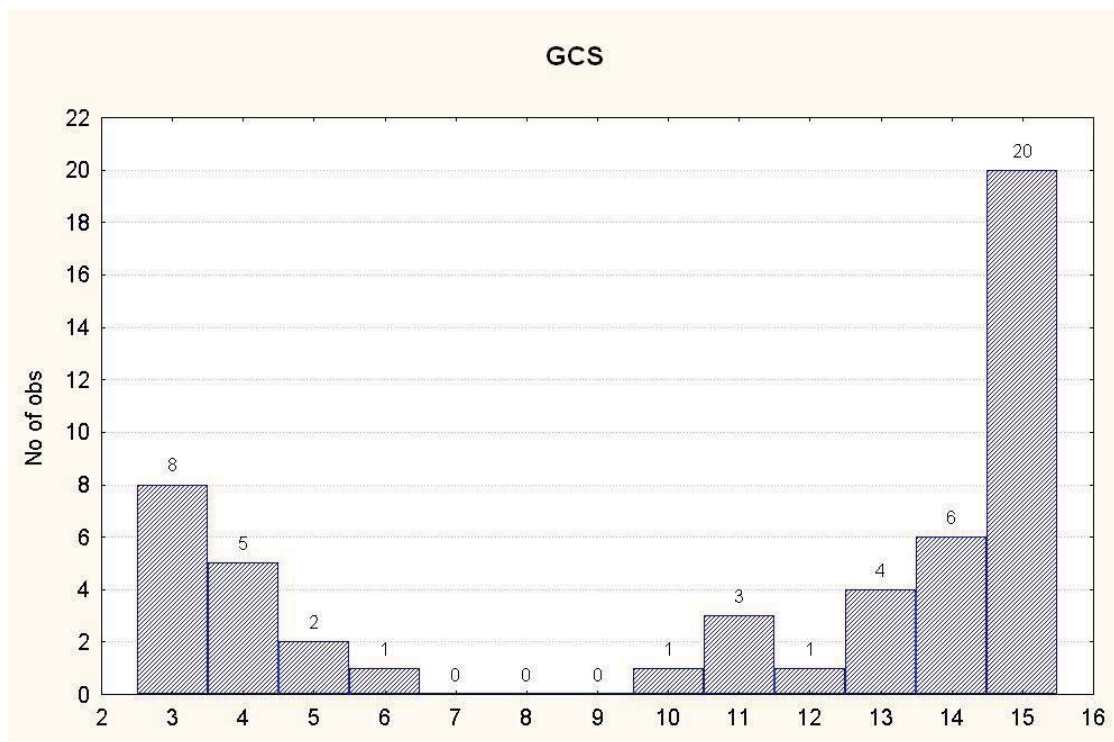
Celkový počet zraněných	n= 51
- muži	39
- ženy	12
Věk (rok)	rozpětí 7-77
- median	40,6
- muži	41,4
- ženy	37,8
Monotrauma CNS (= pouze kontuze mozku)	21
Polytrauma	30
- z toho združené poranění plic	21
Median GCS	5,4



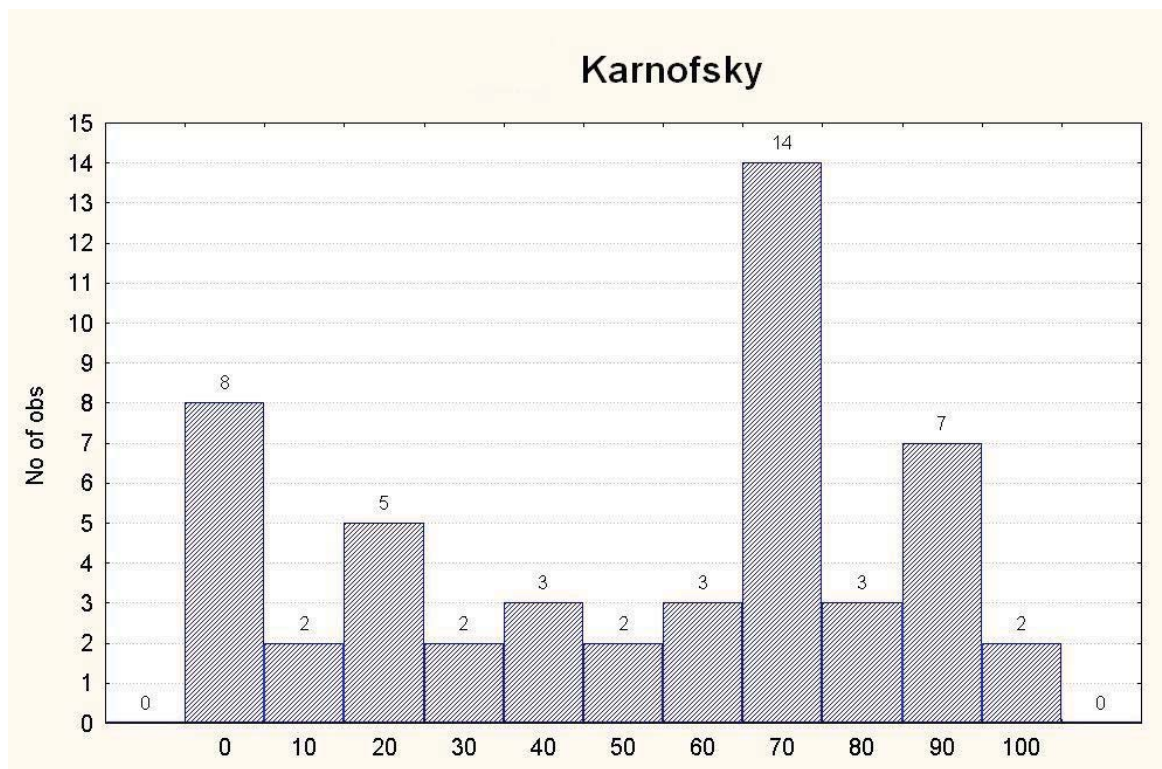
**Graf 2. Glasgow outcome scale s rozdělením po jednotlivých skupinách 1-5: GOS 1 - 8 pacientů, GOS 2-3 - 15 pacientů, GOS 4-5 - 28 pacientů.**



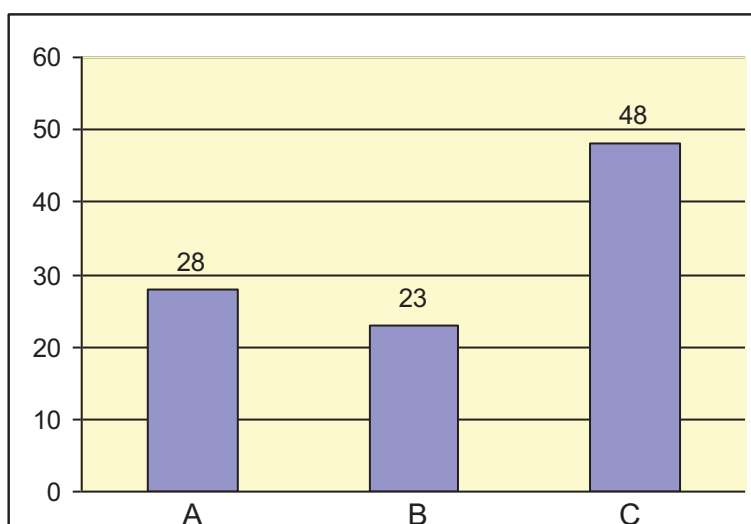
**Graf 3. Glasgow outcome score s rozdělením na dvě skupiny - 1-3 (neuspokojivý výsledek), 4-5 (uspokojivý výsledek).**



**Graf 4. Glasgow coma scale po skončení léčby:** úmrtí u 8 pacientů , z toho monotrauma mozku - 5, polytrauma s poraněním plic - 3.



**Graf 5. Karnofsky:** výsledek při ukončení léčby, median celkový - 51,6; median přeživších – 61,2; 70 a více - 26 pacientů (51% z celé skupiny).



**Graf 6. Konzervativní a chirurgická léčba kontuze mozku (celkem 51 pacientů, 28 operovaných (A), 23 neoperovaných (B), celkem 48 operací (C), median 1,7 operace / operovaného pacienta, odečteny replantace kostí ).**

Pro intrakraniální hypertenzi (ICP > 20 torr) přes antiedematozní terapii, ventilační opatření, analgosedaci, hypotermii (8 z 28 pacientů) při expanzivně se chovajícím kontuzním ložisku a edému mozku bylo 28 pacientů operováno (resekce kontuzního ložiska s hematodem, dekompresivní kraniotomie), celkem 48 operací (tj. průměr 1,7 operace/1 pacienta, odečteny replantace kostí). Léčení 23 pacientů si nevyžádalo jinou neurochirurgickou operaci (mimo zavedení čidla) (Graf 6.). Čidlo k měření intrakraniálního tlaku bylo zavedeno intracerebrálně u 45 zraněných, intraventrikulárně u 4 pacientů a u 2 zraněných současně inventrikulárně a intracerebrálně, přičemž nebyl rozdíl v naměřených hodnotách. Měření ICP bylo prováděno v rozsahu 5-14 dní, v průměru 8,02 dní, do trvalé normalizace hodnoty ICP nebo do potvrzení klinických známek smrti mozku (u zemřelých 5 dní). Během měření ICP nebyly zaznamenány žádné klinické známky infekce v souvislosti se zavedením ICP čidla či komorového katetru. Vždy po extrakci systému z mozku bylo čidlo či komorový katetr bakteriologicky vyšetřeno. 1x byl zjištěn nález *Stafylococcus koaguláza* negativní při pomnožení (0,51% infekčních komplikací), ve zbývajících 50 případech bakteriologicky negativní nález. Čidlo jugulárního bulbu měli zavedeno 3 pacienti (z toho u 1 pacienta hnisání centrálního žilního katetru). Všichni pacienti měli intraarteriálně (art. radialis) zaveden vstup ke kontinuálnímu měření intraarteriálního krevního tlaku a odběru arteriální krve k laboratornímu vyšetření. Bez zánětlivých komplikací.

Vstupní ICP u všech zraněných byl v průměru 20,176 torr (2-65) +/- 18,176-85,176 torr, z toho u zemřelých 36,5 torr (6-65) +/- 30,5-28,5 torr. Hodnoty vstupního laktátu, S-Na<sup>+</sup>, S-K<sup>+</sup>, S-Ca<sup>++</sup>, osmolality, glykémie, celkové bílkoviny a albuminu jsou shrnuty do Tab. 4.

**Tab. 4. Vstupní hodnoty: ICP, laktát, natrium, kalium, kalcium, osmolalita, glykemie, celková bílkovina a albumin.**

	všichni pacienti (n=51)	zemřelí (n=8)
Vstupní ICP (torr)	20,176	36,5
Laktát (mmol/l)	3,255	5,346
S-Na <sup>+</sup> (mmol/l)	139,7	137,16
S-K <sup>+</sup> (mmol/l)	3,783	3,96
S-Ca <sup>++</sup> (mmol/l)	2,14	2,133
Osmolalita (mosmol/l)	300,276	303,0
Glykemie (mmol/l)	8,9	9,43
Cel. Bílkovina (g/l)	59,656	62,45
Albumin (g/l)	36,268	36,783

Hodnoty sledovaných veličin při ukončení měření ICP, v průměru 8. den zachyceny v Tab. 5:

**Tab. 5. Konečné hodnoty: ICP, laktát, natrium, kalium, kalcium, osmolalita, glykémie, celková bílkovina a albumin.**

	všichni pacienti (n=51)	zemřelí (n=8)
ICP (torr)	20,10	61,25
- z toho přeživší (n= 43)	12,1	
Laktát (mmol/l)	1,44	2,65
S-Na+ (mmol/l)	141,72	153,0
S-K+ (mmol/l)	4,28	4,47
S-Ca++ (mmol/l)	2,15	2,14
Osmolalita (mosmol/l)	297,77	326,4
Glykemie (mmol/l)	6,03	8,53
Celková bílkovina (g/l)	61,93	61,7
Albumin (g/l)	33,65	32,9

U pacientů s příznivým GOS 4-5 dosahovaly vstupní hodnoty ICP nižší úrovně (Tab. 6.), stejně jako vstupní a konečné hladiny glykémie (Tab. 7.), laktátu (Tab. 8.) a osmolality (Tab. 9.), než u pacientů s nepříznivým neurologickým výsledkem, GOS 1-3.

**Tab. 6. Hodnoty ICP ve vztahu ke GOS**

	Příznivý výsledek (GOS 4-5, n=28)	Nepříznivý výsledek (GOS 1-3, n=23)
Vstupní (torr)	16,6 +/- 14,6-24,4	24,5 +/- 19,5-40,5
Konečný (torr)	10,6 +/- 9,6-24,4	27,2 +/- 22,5-94,8

**Tab. 7. Hodnoty glykémie (S-glukosa) ve vztahu ke GOS**

	Příznivý výsledek (GOS 4-5, n=28)	Nepříznivý výsledek (GOS 1-3, n=23)
Vstupní (mmol/l)	8,5 +/- 4,0-7,7	9,4 +/- 3,5-6,1
Konečná (mmol/l)	5,7 +/- 1,3-2,4	6,0 +/- 1,8-3,3

**Tab. 8. Hodnota laktátu (S-laktát) ve vztahu ke GOS**

	Příznivý výsledek (GOS 4-5, n=28)	Nepříznivý výsledek (GOS 1-3, n=23)
Vstupní (mmol/l)	2,65 +/- 1,77-4,11	4,21 +/- 3,13-4,12
Konečná (mmol/l)	0,82 +/- 0,26-3,05	2,28 +/- 1,46-2,36

**Tab. 9. Hodnota osmolality (S-Osmol) ve vztahu ke GOS**

	Příznivý výsledek (GOS 4-5, n=28)	Nepříznivý výsledek (GOS 1-3, n=23)
Vstupní (mosmol/l)	288 +/- 7-78	303 +/- 18-23
Konečná (mosmol/l)	293 +/- 37-38	301 +/- 23-58



Pacienti s nepříznivým GOS (1-3), především však zemřeli, měli signifikantní vstupní hyponatrémii (Tab.10.). Kalémie (Tab. 11.) neměla na GOS významnější vliv.

**Tab. 10. Hodnota natria (S-Na+) ve vztahu ke GOS**

	Příznivý výsledek (GOS 4-5, n=28)	Nepříznivý výsledek (GOS 1-3, n=23)
Vstupní (mmol/l)	140 +/- 7-18	140 +/- 8
Konečná (mmol/l)	140 +/- 7-11	144 +/- 10-24

**Tab. 11. Hodnota kalia (S-K+) ve vztahu ke GOS**

	Příznivý výsledek (GOS 4-5, n=28)	Nepříznivý výsledek (GOS 1-3, n=23)
Vstupní (mmol/l)	3,8 +/- 0,9-1,1	3,7 +/- 0,7-0,9
Konečná (mmol/l)	4,3 +/- 1,2-2,1	4,2 +/- 0,6-3,2

Vstupní hladiny laktátu u pacientů s nepříznivým GOS významně převyšovaly normální rozpětí. Za to konečná hodnota laktátu u nepříznivého GOS byla ve fyziologickém rozpětí. Zemřelí měli signifikantní vstupní intrakraniální hypertenzi, hyperglykémii, hyponatrémii a trvalou hyperosmolalitu.

### III.3.2. Statistické zpracování souboru

K prediktivnímu významu na prognózu a Glasgow Outcome Scale u retrospektivního souboru 51 nemocných s těžkou kontuzí mozku byly vybrány vstupní hodnoty ICP, natria, kalia, glykémie, laktátu, osmolality a věk. Dle dosaženého klinického výsledku léčby - GOS za 6 měsíců od skončení léčby - byli pacienti zařazeni do skupiny s uspokojivým léčebním výsledkem (GOS 4 - 5) a neuspokojivým léčebním výsledkem (GOS 1- 3). Cílem statistického zhodnocení bylo prokázat, které parametry nebo jejich kombinace prognózuji léčebný výsledek.

#### III.3.2.1. Použité statistické metody

Statistická analýza byla provedena s užitím software S.A.S. (Statistical Analysis Software) release 8.02. Pro měřené parametry v celém souboru a v jednotlivých skupinách a podskupinách byly počítány základní statistické údaje jako průměr, směrodatná odchylka, rozptyl, medián, mezikvartilové rozpětí, minimum, maximum. Vybrané statistické údaje byly též zpracovány do tzv. Box and Whisker plot diagramů (Graf 7). Pro zjištění rozdílů mezi zkoumanými parametry byl v 1. kroku u kategorických proměnných užit chi-kvadrát (chi-square) test dobré shody, Fischerův exaktní test a taktéž byly počítány tzv. Odds Ratio (poměr šancí na lepší nebo horší GOS vzhledem ke zkoumanému parametru). Jinými slovy hledání hodnoty markeru, kterou když pacient překročí, je jeho riziko na horší GOS největší (= nalezená „cut off“). Statisticky signifikantní rozdíl vyjadřuje p-value nižší než 0,05. V 2. kroku pro zjištění závislosti zkoumaných znaků, vzhledem k negausovskému rozdělení těchto proměnných byl použit Spearmanův koeficient korelace všech vstupních proměnných k danému endpointu (GOS). 3. krokem při hledání nejsilnější vstupní hodnoty na výsledný GOS je multivariační analýza provedena užitím Stepwise logistické regrese. Tato metoda na rozdíl od univariačních testů zkoumá všechny proměnné, které jsou do daného modelu definované. Procedura STEPWISE vybírá postupně nejvýznamnější proměnnou, a tuto vloží do modelu a v případě, že žádná silnější vysvětlující proměnná již neexistuje (respektive poslední, původně významná proměnná model opouští), je testování u konce.

Všechny proměnné, které v modelu zůstaly jsou statisticky významné (na zvolené hladině významnosti  $p\text{-value} = 0,05$ ) a vysvětlují tak vysvětlovanou proměnnou (v tomto souboru pacientů je to GOS).

### III.3.2.2. Pořadová korelace: Porovnává vztah všech proměnných vstupních vstupních parametrů ke Glasgow Outcome Scale (GOS) - multivariační logistická regrese

```

                                The CORR Procedure

1 With Variables:  GOSgroupx
11 Variables:     pohlavix          vekgroupx          kontuzex
                  polytraumax      VEK_90             vstup_ICP_80
                  vstup_laktat_70   vstup_glykemie_75 vstup_NA_70
                  vstup_K_70        vstup_OSML_60

Spearman Correlation Coefficients, N = 51
Prob > |r| under H0: Rho=0

GOSgroupx      vstup_laktat_70      vstup_ICP_80      vstup_NA_70
                0.32138                0.29118            -0.29086
                0.0215                  0.0382             0.0384

Spearman Correlation Coefficients, N = 51
Prob > |r| under H0: Rho=0

GOSgroupx      vstup_OSML_60      vstup_glykemie_75  VEK_90
                0.28727                0.28367            0.28058
                0.0410                  0.0437             0.0461

Spearman Correlation Coefficients, N = 51
Prob > |r| under H0: Rho=0

GOSgroupx      pohlavix          polytraumax      kontuzex
                0.13115                -0.08580           0.08580
                0.3590                  0.5494             0.5494

Spearman Correlation Coefficients, N = 51
Prob > |r| under H0: Rho=0

GOSgroupx      vstup_K_70
                0.06661
                0.6424

```

#### Výsledek:

GOSgroup (0=lepší, 1=horší) koreluje s:

laktat: pozitivně, stat. významně

ICP: pozitivně, stat. významně

NA: negativně, stat. významně

OSML: pozitivně, stat. významně

glykemie: pozitivně, stat. významně

věk: pozitivně, stat. významně

...s ostatními parametry statisticky nevýznamně

### III.3.2.3. Pořadová korelace významných vstupních vstupních parametrů mezi sebou

Testuje, zda korelační koeficient není roven „0“, kdy není závislost, hodnoty se pohybují mezi -1 a +1.

6 Variables: VEK\_90 vstup\_laktat\_70 vstup\_OSML\_60  
 vstup\_ICP\_80 vstup\_glykemie\_75 vstup\_NA\_70

Spearman Correlation Coefficients, N = 51  
 Prob > |r| under H0: Rho=0

VEK_90	VEK_90	vstup_ICP_80	vstup_laktat_70
	1.00000	-0.19149 0.1783	-0.11573 0.4187
vstup_laktat_70	vstup_laktat_70	vstup_ICP_80	vstup_OSML_60
	1.00000	0.36463 0.0085	0.32138 0.0215
vstup_OSML_60	vstup_OSML_60	vstup_glykemie_75	vstup_ICP_80
	1.00000	0.46451 0.0006	0.38699 0.0050
vstup_ICP_80	vstup_ICP_80	vstup_OSML_60	vstup_laktat_70
	1.00000	0.38699 0.0050	0.36463 0.0085
vstup_glykemie_75	vstup_glykemie_75	vstup_OSML_60	vstup_laktat_70
	1.00000	0.46451 0.0006	0.28329 0.0440
VEK_90	vstup_NA_70	vstup_OSML_60	vstup_glykemie_75
	0.09626 0.5016	-0.08633 0.5469	0.06572 0.6468
vstup_laktat_70	vstup_glykemie_75	vstup_NA_70	VEK_90
	0.28329 0.0440	-0.17138 0.2292	-0.11573 0.4187
vstup_OSML_60	vstup_laktat_70	VEK_90	vstup_NA_70
	0.32138 0.0215	-0.08633 0.5469	0.03516 0.8065
vstup_ICP_80	VEK_90	vstup_glykemie_75	vstup_NA_70
	-0.19149 0.1783	0.13084 0.3601	-0.10827 0.4495
vstup_glykemie_75	vstup_ICP_80	vstup_NA_70	VEK_90
	0.13084 0.3601	-0.07846 0.5842	0.06572 0.6468
vstup_NA_70	vstup_NA_70	vstup_laktat_70	vstup_ICP_80
	1.00000	-0.17138 0.2292	-0.10827 0.4495
vstup_NA_70	VEK_90	vstup_glykemie_75	vstup_OSML_60
	0.09626 0.5016	-0.07846 0.5842	0.03516 0.8065

#### Výsledek:

**Vstup\_NA** s ničím nekoreluje a zároveň má významný vliv na GOS: proto bylo vybráno v logistické regresi;

**Věk\_90** také s žádným z faktorů nekoreluje a má významný vliv na GOS: proto bylo vybráno v logistické regresi;

**ze zbylých faktorů** (vstup\_laktat\_70, vstup\_OSML\_60, vstup\_ICP\_80, vstup\_glykemie\_75), které spolu vzájemně korelují má nejsilnější vliv na GOSgroup právě faktor vstup\_OSML.

### III.3.2.4. Multivariační STEPWISE Logistická regrese

The LOGISTIC Procedure

Model Information

Data Set	WORK.X
Response Variable	GOSgroupx
Number of Response Levels	2
Number of Observations	51
Model	binary logit
Optimization Technique	Fisher's scoring

Response Profile

Ordered Value	GOSgroupx	Total Frequency
1	1	23
2	0	28

Probability modeled is GOSgroupx=1.

Stepwise Selection Procedure

**Výsledek:**

**Tab. 12. Multivariační STEPWISE Logistická regrese**

Effect	Odds Ratio Point Estimate	Estimates	
		95% Confidence	Wald Limits
Věk-90	24.498	1,682	356,762
Vstupní Na-70	0.135	0,028	0,660
Vstupní Osmol-60	5.986	1,448	24,740

**Tab.13. Analýza účinků v modelu**

Effect	DF	Wald	
		Chi-Square	Pr > ChiSq
VEK_90	1	5.4781	0.0193
vstup_NA_70	1	6.1165	0.0134
vstup_OSML_60	1	6.1089	0.0134

**Statisticky nejvýznamnějšími faktory ovlivňujícími výsledek GOS jsou:**

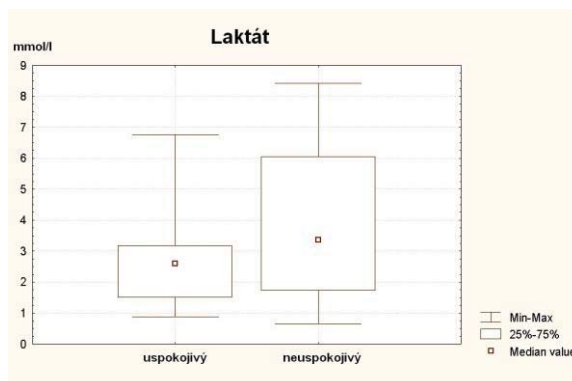
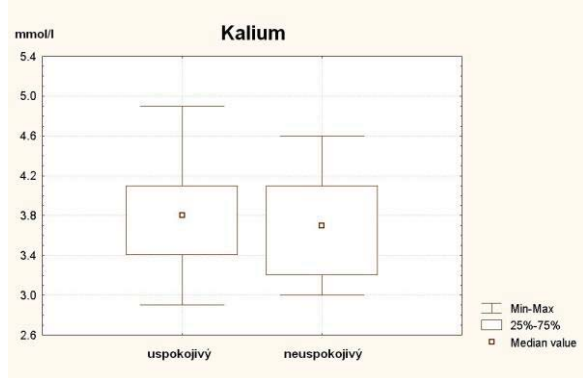
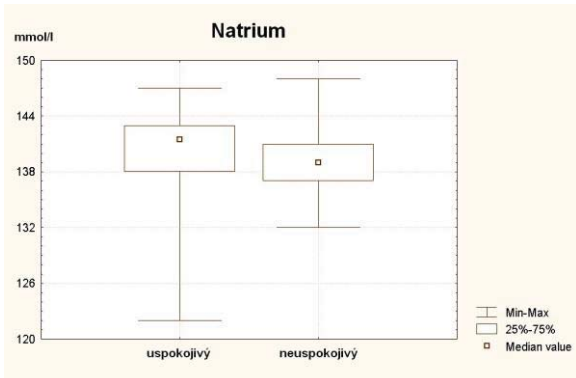
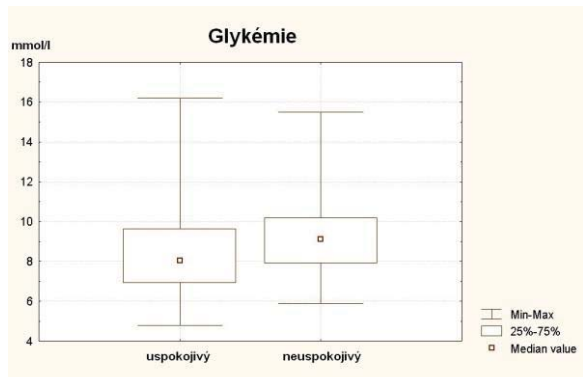
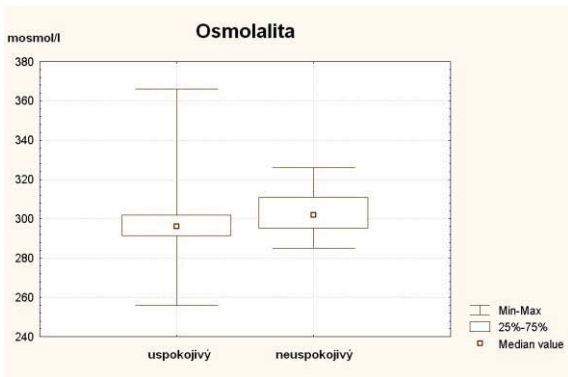
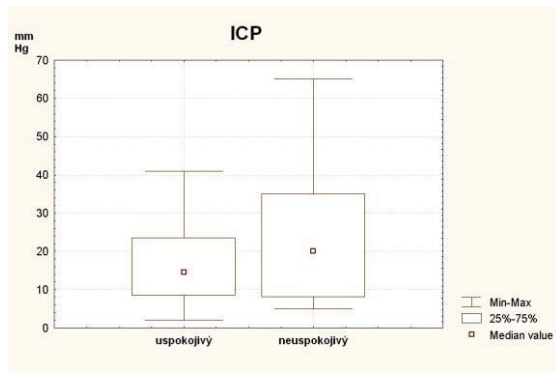
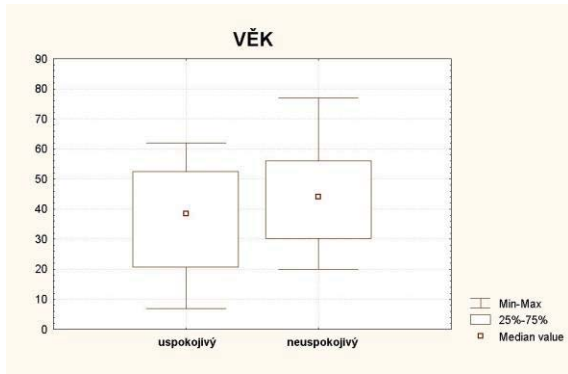
**Věk** - pacienti starší 60-ti let mají 25x vyšší riziko nepříznivého výsledku GOS (1-3);

**Hodnota natria nad 142 mmol/l** - pacienti mají hladinu rizika 0,135 (tedy hodnoty S- Na+ >142 jsou „prediktivním“ faktorem nepříznivého GOS výsledku);

**Osmolalita** - pacienti s osmolalitou >301 mají 6x vyšší riziko neuspokojivého GOS (všechny faktory na zvolené hladině významnosti p-value = 0,05) (Tab. 12. a 13.).

Graf 5. zachycuje léčebné výsledky dle GOS.

**Graf 5. Krabicové grafy léčebných výsledků GOS (4-5 uspokojivý, 1-3 neuspokojivý), box v grafu znázorňuje interkvartilové rozpětí dat.**



**Závěr: Vysoký vstupní intrakraniální tlak v kombinaci s hyperglykemií, hyperlaktémií a hyperosmolalitou jsou významnými indikátory tíže pohmoždění mozku a předpovídají špatný terapeutický výsledek u těchto pacientů.**

## IV. Diskuse

Cílem léčby pacientů s těžkým primárním poraněním mozku ( $GCS \leq 8$ ) je rychlá úprava zvýšeného ICP konzervativními postupy, případně odstráněním expanzivního ložiska (118, 119) a prevence rozvoje sekundární ischemie (120-124), která může významně prohloubit neurologický deficit. Pro kontuzní ložisko je charakteristická centrálně těžká ischemická léze s nekrotickou tkání (125) a perikontuzně je zóna (oblast ischemického polostínu – tzv. penumbra) s nízkým regionálním mozkovým krevním průtokem (rCBF). Je to potenciaálně životoschopná tkáň, která je zvláště zranitelná případným sekundárním mozkovým infarktem

Kontuze mozku iniciuje kaskádu událostí v mozku a na periférii, která může později způsobit sekundární poranění. Souhrnný přehled mediátorů sekundárního mozkového poranění zachycuje Tab. 14. (128).

**Tab. 14. Mediátoři sekundárního mozkového poranění**

---

Lipidová peroxidace  
Uvolnění intracelulárního kalia  
Výtok kalia extracelulárně  
Akumulace laktátu/acidoza  
Hyperglykemie  
Zduření buňky  
Vyplavení excitatorních aminokyselin  
Uvolnění neurotransmiterů  
Zvýšení katabolických hormonů  
Zvýšení hladiny cytokinů  
Iontová nestabilita  
Syntéza prostaglandinů  
Pokles stavu imunity  
Rostoucí systémové metabolické potřeby  
Nadbytek opioidů  
Nedostatek trofických faktorů  
Nedostatek anabolických hormonů  
Nedostatek intracelulárního magnézia  
Nedostatek zinku  
Změna glutaminu a alaninu

---

### IV.1. Regulace tělesné vody a osmolality

U pacientů s poraněním mozku mohou hypo- a hyperosmolální stavy zapříčiněné primárními poruchami vodní rovnováhy nebo léčebnými opatřeními vést k vzestupu edému mozku (129).

**V sestavě 51 pacientů s kontuzí mozku a  $GCS \leq 8$  byla po poranění hyperosmolalita zastížena u 62,8% pacientů, z toho 37,4% mělo uspokojivý konečný terapeutický výsledek, 31,4% neuspokojivý, z toho 11,8% zemřelo.**

### IV.2. Poruchy elektrolytů

#### IV.2.1. Regulace intracelulárního objemu

Buněčná homeostáza v mozku zahrnuje mechanismy, které vyrovnávají změny osmolality plazmy se změnami koncentrace extracelulárních iontů (131). Tyto mechanismy jsou důležité v kontrole objemu mozku za hypo- a hyperosmolálních podmínek.

#### IV.2.2. Natrium

Sodík je hlavní extracelulární iont s rozhodujícím podílem na osmolalitě a s přímým vztahem k obsahu vody v mozkové tkáni. Poruchy regulace a metabolismu natria mají prioritní místo v monitorování a léčbě pacientů s mozkovým poraněním. **Hyponatrémie** může zapříčinit zduření

buňky, zvýšit otok mozku a zhoršit funkci mozku (131). Incidence hyponatremie je u 5-12 % úrazů mozku (137-140), u dětí až u 25 % (140, 141).

**V uvedené sestavě 51 pacientů s kontuzí mozku a GCS ≤ 8 byla hyponatremie po úrazu u 9,8% pacientů, z toho GOS 4-5 mělo 5,9%, GOS 1-3 3,9%.**

K hyponatrémii po úrazu mozku vede:

1. *syndrom nadměrné sekrece antidiuretického hormonu* (SIADH – syndrom of inappropriate ADH)
2. *cerebrální syndrom nadměrné ztráty soli* (CSWS – cerebral salt wasting syndrome)
3. *inhibice Na/K – ATP –tázy* endogenními imunoreaktivními digoxin – like substancemi s následnou hyponatrémií a hyperkalémií (131).

Vývoj hyponatrémie během léčby těžkého poranění mozku je dynamický se střídáním příznaků typických pro SIADH a jindy zase pro CSWS.

#### **Hypernatremie**

Představuje neobvyklejší hyperosmolární stav pacientů s těžkým poraněním mozku, často léčebně navozený použitím manitolu nebo furosemidu, méně častou příčinou je horečka nebo stoupající nepostřehnutelné ztráty vody plícemi.

**V sestavě pacientů s kontuzí mozku a GCS ≤ 8 byla hypernatremia zachycena celkem u 7,8%, z toho 3,9% mělo po léčení uspokojivý výsledek a 3,9% neuspokojivý výsledek.**

#### **Diabetes insipidus (DI)**

Pacienti se zjevně zvýšeným ICP a klinickou smrtí mozku mají též obvykle rozvinutý DI (161, 162). **V sestavě pacientů s kontuzí mozku a GCS ≤ 8 diabetes insipidus byl zachycen u celkem 19,6% pacientů, z toho u 3,9% s GOS 4-5 a u 15,7% s GOS 1-3, z nichž 9,8% zemřelo.**

### IV.2.3. Kalium

U těžkých zavřených mozkových poranění je hypokalémie jedním z nejčastějších elektrolytových poškození.

**Hypokalémie - v sestavě pacientů byla zjištěna celkem u 31,4% pacientů, z toho s uspokojivým výsledkem u 15,7%, s neuspokojivým výsledkem u 21,6%, z toho u 5,9% zemřelých.**

**Hyperkalémie se vyskytla u 1 zemřelého (2% z počtu pacientů).**

### IV.3. Glykémie

Traumatické poranění mozku je spojováno s akutní sympatoadrenomedullární reakcí charakterizovanou zvýšenou krevní hladinou katecholaminů (186-189). Vzestup cirkulujících katecholaminů způsobuje nejen intrakraniální hypertenzi (195), ale též nárůst sérových hladin glukózy (188, 196). Tato hyperglykémie představuje stresovou reakci, odrážející rozsah mozkového poranění (188, 197) a má prognostickou hodnotu (198-202). Vliv hyperglykémie na poranění mozku byl poprvé popsán Claudem Bernardem v roce 1849 (213).

**V sestavě 51 nemocných s kontuzí mozku a těžkou poruchou vědomí (GCS ≤ 8) byla hyperglykémie zastižena u 94,1% pacientů po přijetí do nemocnice, z toho u 51% pacientů byl dosažen uspokojivý léčebný výsledek, u 43,1% neuspokojivý výsledek, z toho 13,7% zemřelo. Hypoglykémie nebyla zaznamenána. Normoglykémii mělo 5,9%, z toho 3,9% s uspokojivým léčebným výsledkem a 1 pacient zemřel (2%).**

Průměrná hodnota glykémie přesahovala horní hranici fyziologického rozpětí – 8,9 mmol/l. Ale zranění s příznivým GOS (4-5) měli průměrnou vstupní a konečnou glykémii nižší, než pacienti s nepříznivým GOS (1-3). Glykémie se u osob s dosaženým GOS 4-5 vrátila do fyziologického rozpětí, u nepříznivého GOS 1-3 zůstala v průměru mírně nad horní hranicí. Zemřelí zranění měli počátečnou hyperglykémii, která měla jen mírnou tendenci k poklesu, do fyziologického rozpětí se ale nevrátila. Hyperglykémie může zvýšit neurologický deficit. Přesto ze samotné hodnoty vstupní glykémie nelze plně prognózovat neurologický výsledek.

### IV.4. Laktát

**Hyperlaktémie**, důsledek převažujícího anaerobního metabolismu k získání energie, byla zřetelná u pacientů s nepříznivým GOS, u zemřelých dosahovala nejvyšších hodnot. Pacienti s GOS

4-5 měli naopak jen mírně zvýšený laktát. Hyperlaktémie po úrazu předpověděla špatný terapeutický výsledek.

**V diskutované sestavě mělo 58,8% pacientů hyperlaktémii po úrazu, u 27,5% z nich byl dosažen uspokojivý léčebný výsledek, u 31,3% neuspokojivý, z toho 13,7% zemřelo. Normolaktémii mělo celkem 41,2% zraněných, z nich uspokojivý léčebný výsledek mělo 23,5% a neuspokojivý 16,7%, z toho 2% zemřelo. Hypolaktémie nebyla zastižena.**

Souhrn poruch biochemických parametrů v procentech u kontuzí mozku s GCS ≤ 8 shrnuje Tab. 16.

**Tab. 16. Souhrn výskytu poruch biochemických parametrů v procentech u kontuzí mozku s GCS ≤ 8.**

Typ poruchy	Výsledek v %			
	Výskyt celkem	Uspokojivý (GOS 4-5)	Neuspokojivý (GOS 1-3)	Zemřel (GOS 1)
Hyperosmolalita	62,8	37,4	31,4	11,8
Hypoosmolalita	3,9	3,9	0	0
Hyperglykémie	94,1	51	43,1	13,7
Hypoglykémie	0	0	0	0
Normoglykémie	5,9	3,9	2	2
Hyperlaktémie	58,8	27,5	31,3	13,7
Hypolaktémie	0	0	0	0
Normolaktémie	41,2	23,5	16,7	2
Hyponatrémie	9,8	5,9	3,9	2
Hypernatrémie	7,8	3,9	3,9	0
Diabetes insipidus	19,6	3,9	15,7	9,8
Hypokalémie	31,4	15,7	21,6	5,9
Hyperkalémie	2	0	2	2

3 † měli DI

**Nejvýznamnější nepříznivý prognostický dopad měla současná přítomnost počáteční intrakraniální hypertenze v kombinaci s hyperglykemií, hyperlaktémií a hyperosmolalitou. Spolu představují indikátory tíže pohmoždění mozku a předpovídají špatný terapeutický výsledek u pacientů s pouřazovou kontuzí mozku.**

## V. Přínos pro klinickou praxi a závěr

Pacienti s poraněním mozku překonávají lokální a systémovou metabolickou reakci, která zahrnuje hypermetabolismus, hyperkatabolismus, změněnou cévní prostupnost, rostoucí uvolnění hormonů a cytokinů, změněné gastrální vyprázdňování, změněný minerální a glukózový metabolismus a imunitní stav. Tato reakce může iniciovat mechanismy, které vedou k sekundárnímu ischemickému mozkovému poškození, která mohou nepříznivě ovlivnit funkci dalších orgánů. K detekci sekundárních inzultů, vzestupu ICP nebo poklesu CPP a pro kontrolu účinnosti zvolených terapeutických postupů je nezbytné multinodální monitorování.

Vysoký vstupní intrakraniální tlak v kombinaci s hyperglykemií, hyperlaktémií a hyperosmolalitou jsou významnými indikátory tíže poranění mozku a prognostickými faktory nepříznivého neurologického výsledku léčby. Další spřesnění její prognózy zlepší, kromě základního multinodálního monitorování běžného na jednotkách resuscitační a intenzivní péče, zaváděné metody speciálního multinodálního monitorování:

1. monitorování mozkového kyslíku (jugulární oxymetrie –SvJO<sub>2</sub>, regionální saturace hemoglobinu kyslíkem – NIRS), parciální tlak kyslíku v mozkové tkáni – PtiO<sub>2</sub>),
2. monitorování průtoku krve mozkem (regionální a globální monitorování CBF)
3. monitorování metabolismu mozku (pH, pO<sub>2</sub>, pCO<sub>2</sub> v mozku, teplota mozku)
4. elektrofyziologické vyšetření mozku (evokované potenciály mozkové kůry a kmene).

Mnohé z nich jsme postupně zavedli do klinické praxe, širší zavádění je omezené ekonomickými možnostmi.

Výzkum v posledních 20 letech významně zlepšil naše znalosti o patofyziologii primárních a sekundárních poranění mozku, včetně kontuze. Zatímco primární poranění mozku můžeme ovlivnit jen preventivně správně vedenou osvětou. Sekundární poranění mozku lze terapeuticky ovlivnit.



Výzkumné metody na bázi molekulární biologie a biochemie otevřely novou oblast výzkumu reakce centrálního nervového systému na trauma nebo ischemii a ukazují cestu léčbě ovlivněním iniciace a počátečních fází nepříznivé patofyziologické kaskády vedoucí k smrti nervové buňky.

## VI. Literatura použitá a citovaná v disertační práci

1. Jennet B: Sir William Macewen 1948-1924: Pioneer Scottish neurosurgeon. *Surg Neurol* 6:57, 1976.
2. Cushing H: A study of the series of wounds involving the brain and its enveloping structures. *Br J Surg* 5:558, 1918.
3. Meierowksy AM: *Neurological Surgery of Trauma*. U.S. Government Printing Office, 1965.
4. Hammon WM: Analysis of 2187 consecutive penetrating wounds of the brain from Vietnam. *J Neurosurg* 34:127, 1971.
5. Collin JG: Types of injuries by selected characteristics: United States, 1983-1987. *Vital Health Stat* 10:175, 1990.
6. Kraus JF, Black MA, Hessel A, et al: The incidence of acute brain injury and serious impairment in a defined population. *Am J Epidemiol* 119:186, 1984.
7. Murray GD, Teasdale GM, Braakman R, et al: The European Brain Injury Consortium Survey of the Head Injuries. *Acta neurochir* 141: 223-236, 1999.
8. Annegers JF, Grabow JD, Groover RV, et al: Seizures after head trauma: A population study. *Neurology* 30:683, 1980.
9. Whitman S, Coonley –Hoganson R, Desni BT: Comparative head trauma experiences in two socioeconomically different Chicago-area communities: A population study. *Am J Epidemiol* 119:570, 1984.
10. Fife D: Head injury with and without hospital admission: Comparison of incidence and short-term disability. *Am J Public Health* 77:810, 1987.
11. McKenzie EJ, Edestein SL, Flynna JP: Hospitalized head – injuries. *Maryland Med J* 38:725, 1989.
12. Jagger J, Levine J, Jane J, et al: Epidemiologic features of the head injury in a predominantly rural population. *J Trauma* 24:40, 1984.
13. Fife D, Faich G, Hollenshead W, Doyuton W: Incidence and outcome of hospital – treated head injury in Rhode Island. *Am J Public Health* 76: 773, 1986.
14. Cooper JD, Tabaddor K, Hauser WA: The epidemiology of the head injury in the Bronx. *Neuroepidemiology* 2:70, 1983.
15. Klauber MR, Barret-Connor E, Marshall LF, Bowers SA: A prospective study of an entire community – San Diego County, California, 1978. *Am J Epidemiol* 113:500, 1981.
16. Kraus J, Fife D, Conroy C, Nourjah P: Alcohol and brain injuries: Persons blood – testes, prevalence of alcohol involvement, and early outcome following injury. *Am J Public Health* 79:294, 1989.
17. Jagger J, Levine J, Jane J, et al: Epidemiologic features of head injury in a predominantly rural population. *J Trauma* 24:40, 1984.
18. Vasquez – Barquero A, Vasquez – Barquero JL, Austin O, et al: The epidemiology of head injury in Cantabria. *Eur J Epidemiol* 8:832, 1992.
19. Turet L, Hausherr E, Thicoipe M, et al: The epidemiology of head trauma in Aquitaine (France), 1986: A community – based study of hospital admissions and deaths. *Int J Epidemiol* 19:133, 1990.
20. Nell V, Brown SOD: Epidemiology of traumatic brain injury in Johannesburg: II. Morbidity, mortality and etiology. *Soc Sci Med* 33:289, 1991.
21. Murray GD, Teasdale GM, Braakman R, et al: The European Brain Injury Consortium Survey of Head Injuries. *Acta Neurochir* 141:223-236, 1999.
22. Miller JD, Jones PA, Dearden NM, Tocher JL: Progress in the management of head injury. *Br J Surg* 79:60-64, 1992.
23. Sullivan HG, Martinez AJ, Becher DP, et al: Fluid percussion model of mechanical brain injury in the cat. *J Neurosurg* 45:520-534, 1976.
24. Gennarelli TA, Thibault LE, Tipperman R, et al: Axonal injury in the optic nerve: A model simulating diffuse axonal injury in the brain. *J Neurosurg* 71:244-253, 1983.
25. Povlishok JT: Traumatically induced axonal injury: Pathogenesis and pathological implications. *Brain Pathol* 2:1-12, 1992.
26. Maxwell WL, Graham DI, Adams JH, et al: Focal axonal injury: The early axonal response to stretch. *J Neurocytol* 20:157-164, 1991.
27. Hovda DA, Becher DP, Katayama Y: Secondary injury and acidosis. *A Neurotrauma* 9:S47-60, 1990.
28. Bouma CJ, Muizelaar JP, Choi SC, et al: Cerebral circulation and metabolism after severe traumatic brain injury: The elusive role of ischemia. *J Neurosurg* 75:685-693, 1991.
29. Bouma GJ, Muizelaar JP, Stringer WA, et al: Ultraearly evaluation of regional cerebral blood flow in severely head – injured patients using xcaon – enhanced computerized tomography. *J Neurosurg* 77:17, 360-368, 1992.
30. Becker DI, Miller JD, WaardJD, et al: The outcome from severe head injury with early diagnosis and intensive management. *J Neurosurg* 1977; 47:491-502.
31. Graham DI, Ford I, Adams JH, et al: Ischaemic brain damage is still common in fatal non-missile head injury. *J Neurol Neurosurg Psychiatry* 1989; 52:346/350.
32. Graham DI, Adams JH, Doyle D: Ischaemic brain damage in fatal non-missile head injuries. *J Neurol Sci* 1978; 39:213/234.
33. Chesnut RM, Marshall LF, Marshall SB: Medical management of intracranial pressure, in Cooper PR (ed): *Head Injury*(3d ed). Baltimore: Williams and Wilkins, 1993; 225/246.
34. Chesnut, RM., Marshal, LF. Analysis of the role of secondary brain injury in determining outcome from severe head injury. *J Neurosurg* 72,1990, p.360.
35. Chesnut, RM., Marshal, SB., Piek, J., et al. Early and late systemic hypotension as a frequent and fundamental source of cerebral ischaemia following severe head injury in the Trauma Coma Data Bank. *Acta Neurochir* 59, 1993, p.121.
36. Young B, Ott L, Dempsez R, et al: Relationship between admission hyperglycemia and neurological outcome of severely brain –injured patients. *Ann Surg* 1989; 210:466-473.
37. Young B, Ott L, Yingling B et al: Nutrition and brain injury. *J Neurotrauma* 1992; (suppl 1) S375/383.
38. Robertson CS, Goodman CL, Narayan RK, et al: The effect of glucose administration on carbohydrate metabolism after head injury. *J Neurosurg* 74; 43, 1991

39. Clifton GL, Steven A, Plenger PM, et al: A phase II study of systemic hypothermia in severe brain injury. Abstract, 61<sup>st</sup> Annual Meeting of the American Association of Neurological Surgeons, Boston, April 1993.
40. Marion DW, Obrist WD, Carlier PM, et al: The use of moderate therapeutic hypothermia for patients with severe head injuries: A preliminary report. *J Neurosurg* 1993; 79:354-362.
41. Shioyaki T, Sugimoto H, Taneda M et al: Effect of mild hypothermia on uncontrollable intracranial hypertension after severe head injury. *J Neurosurg* 1993; 79:363-368.
42. Vice MV: A metabolic approach to the management of neurological trauma: Hypothermic hypokalemic coma. Abstract, 61<sup>st</sup> Annual Meeting of the American Association of Neurological Surgeons, Boston, April 1993.
44. Vollmer DG: Prognosis and outcome of severe head injury, in Cooper PR (ed): *Head injury*, (3d ed). Baltimore: Williams and Wilkins, 1993: 533-581.
45. Wahl M, Schilling L, Unterberg A, et al: Mediators of vascular and parenchymal mechanisms in secondary brain damage. *Acta Neurochir* 57: 64, 1993.
46. Rosenberg GA, Kornfeld M, Estrada E, et al: TIMP-2 reduces proteolytic opening of blood-brain barrier by type IV collagenase. *Brain Res.*, 576:203, 1992.
47. Murr R, Berger S, Schurer L et al: Relationship of cerebral blood flow disturbances with brain oedema formation. *ACTA Neurochir* 59: 11, 1993.
48. Clasen RA, Penn RD: Traumatic brain swelling and oedema. In: Cooper PR, ed *Head Injury*, 2<sup>nd</sup> ed. Baltimore: Williams and Wilkins, 1987, p.285-312.
49. Stover JF, Dohse NK, Unterberg W: Significant reduction in brain swelling by administration of nonpeptide kinin B2 receptor antagonist LF 16-0687Ms after controlled cortical impact injury in rats. *J Neurosurg* 92:853-859, 2000.
50. Krasznai L, Grote EH: Acute vasoparalysis after subarachnoidal haemorrhage and cerebral trauma: General phenomenon? *Neurol Res* 16, 1994, p.40.
51. Becker DP, Miller JD, Ward JD et al: The outcome from severe head injury with early diagnosis and intensive management. *J Neurosurg* 1977; 47:491-502.
52. Marshall LF, Smith RW, Shapiro HM: The outcome with aggressive treatment in severe head injuries. Part I. The significance of intracranial pressure monitoring. *J Neurosurg* 1979; 50:20-25.
53. Miller JD, Becker DP, Ward JD, et al: Significance of intracranial hypertension in severe head injury. *J Neurosurg* 1977; 47:503-516.
54. Miller JD, Butterworth JF, Gudeman SK, et al: Further experience in the management of severe head injury. *J Neurosurg* 1981; 54:289-299.
55. Narayan RK, Greenberg RP, Miller JD, et al: Improved confidence of outcome prediction in severe head injury. A comparative analysis of the clinical examination, multimodality evoked potentials, CT scanning, and intracranial pressure. *J Neurosurg* 1981; 54:751-762.
56. Saul TG, Ducker TB: Effects of intracranial pressure monitoring and aggressive treatment on mortality in severe head injury. *J Neurosurg* 1982; 56:498-503.
57. Marmarou A, Eisenberg HM, Foulkes MA, et al: Impact of ICP instability and hypotension on outcome in patients with severe head trauma. *J Neurosurg* 1991; 75:S59-S66.
58. Monro A: Observations on the Structure and the Function of the Nervous System. Edinburgh: Creech and Johnson, 1783.
59. Kellie G: An account of the appearances observed in the dissection of two of three individuals presumed to have perished in the storm of the 3D, and whose bodies were discovered on the vicinity of Leith on the morning of the 4<sup>th</sup> of November 1821, with some reflections on the pathology of the brain. *Trans Med Chir Sci Edinb* 1824; 84:169.
60. Burrows G: Disorders of the Cerebral Circulation. Philadelphia: Len Blanchards, 1848.
61. Greitz D: Cerebrospinal fluid circulation and associated intracranial dynamics: A Radiologic investigation using MR imaging and radionuclide cisternography. *Acta Radiol Suppl*, 386: 1, 1993.
62. Fridén H: The Hydrodynamics of the Cerebrospinal Fluid in Man. Umea University Medical Dissertations. New series. No. 416-ISSN 0346-6612, 1994.
63. Fridén H, Ekstedt J: CSF dynamics modeling in man, in Nagai H, Kamiya K, Ishii S (eds): *Intracranial Pressure IX*. Tokyo: Springer Verlag, 1994:502-503.
64. Fridén H, Ekstedt J: Volume accounting: A method for the study of CSF-hydrodynamics. An aid for parameter estimation and validation of pressure/flow models, in: Miller JD, Teasdale GM, Rowan JO, et al (eds): *Intracranial Pressure VI*. Berlin: Springer-Verlag, 1986:54-61.
65. Marmarou A, Shulman K, Rosende RM: A nonlinear analysis of the cerebrospinal fluid system and intracranial pressure dynamics. *J Neurosurg* 1978; 48:332-344.
66. Shulman K, Marmarou A: Pressure-volume considerations in infantile hydrocephalus. *Dev Med Child Neurol* 1971; 13(Suppl):90/95.
67. Guillaume J, Janny P: Manometrie intracranienne continue: Interet de la methode et premiers resultats. *Rev Neurol (Paris)* 84:131-142, 1951.
68. Lundberg N: Continuous recording and control of ventricular fluid pressure in neurosurgical practise. *Acta Psychiatr Scand [suppl]* 36(suppl149):1-193, 1960.
69. Bullock R: Monitoring of the CNS. Sebel and Fitch, Chapter 5, 117-152, 1994.
70. Mayer A: Herniation of the brain. *Arch Neurol Psychiatry*, 4, p.387, 1920.
71. Youmans: Neurological Surgery, 4. Vyd., 1996.
72. Andrews BT, Pitts LH: Functional recovery after traumatic transtentorial herniation. *Neurosurgery*, 29, p. 227, 1991.
73. Welch K: The intracranial pressure in infants. *J Neurosurg* 52:327-337, 1988.
74. Lundberg N, Troupp H, Lorin H: Continuous recording of the ventricular fluid pressure in patients with severe acute traumatic brain injury. *J Neurosurg* 22:581-590, 1965.
75. Marmarou A, Anderson RL, Ward JD, et al: NINDS Traumatic Coma Data Bank: Intracranial pressure monitoring methodology. *J Neurosurg* 75:S21-27, 1991.
76. Jones PA, Andrews PJD, Midgley S, et al: Measuring the burden of secondary insults in head injured patients during intensive care. *J Neurosurg Anesth* 6:4-14, 1994.
77. O' Sullivan MG, Statham PF, Jones PA, et al: Role of intracranial pressure monitoring in severely head injured patients without signs of intracranial hypertension on initial computerized tomography. *J Neurosurg* 80:46-50, 1994.
78. Teasdale E, Cardoso E, Galbraith S, Teasdale G: CT scan in severe diffuse head injury: Physiological and clinical correlations. *J Neurol Neurosurg Psychiatry* 47:600-603, 1984.
79. Miller JD, Dearden NM, Piper IR, Chan KH: Control of intracranial pressure in patients with severe head injury. *J Neurotrauma* 9:(suppl 1):S317-326, 1992.

80. Mayhall CG, Archer NH, Lamb VA, et al: Ventriculostomy related infections. *A Engl J Med* 310:553-559, 1984.
81. Sundbärg G, Kjällquist A, Lundberg A, Ponten U: Complications due to prolonged ventricular fluid pressure recording in clinical practise, in Brock M, Dietz H (eds): *Intracranial Pressure*. Berlin: Springer-Verlag, 1972:348-352.
82. Miller JD, Garibi J, Pickard JD: Induced changes of cerebrospinal fluid volume: Effects during continuous monitoring of ventricular fluid pressure. *Arch Neurol* 28:265-269, 1973.
83. Statham PFX, Midgley S, Dearden NN, et al: A clinical evaluation of an intraparenchymal intracranial pressure transducer. In: Avezaat CJJ, Van Eijndhoven JHM (eds). *AIR Maas and JTJ Taus*. Berlin: Springer-Verlag, 1993, p. 7-10.
84. Rapoport SI, Frederiks WR, Ohno K, et al: Quantitative aspects of reversible osmotic opening of the blood-brain barrier. *Am J Physiol* 238: 421, 1980.
85. Klatzo I: Disturbances of blood-brain barrier in cerebrovascular disorders. In: Hossmann KA, Klatzo I (eds): *Cerebrovascular transport mechanisms*. Acta Neuropathol (Berl), Suppl. VIII, Springer, Berlin – Heidelberg – New York, 1983.
86. Marmarou A, Nakamura T, Tanaka, et al: The time course and distribution of water in the resolution phase of infusion edema. In: *Proceedings of the 5<sup>th</sup> International symposium on brain edema*. Groningen, 1982.
87. Harper HA: *Přehled fyziologické chemie*. 15. vydání (1. české vydání), 1977.
88. Baetmann A: Pathophysiological and pathochemical aspects of cerebral oedema. *Neurosurg Rev* 1:85, 1978.
89. DeSalles AAF, Muizelaar JP, Young HF: Hyperglycemia, cerebrospinal fluid lactic acidosis and cerebral blood flow in severely head-injured patients. *Neurosurg* 21:45, 1987.
90. Marmarou A, Holdaway R, Ward JD et al: Traumatic brain tissue acidosis. Experimental and clinical studies. *Acta Neurochir* 57:160, 1993.
91. Hamill RW, Woolf PD, McDonald J et al: Catecholamines predict outcome in traumatic brain injury. *Ann Neurol* 212:438, 1987.
92. Backer AJ, Moulton RJ, MacMillan VH et al: Excitatory amino acids in cerebrospinal fluid following traumatic brain injury in humans. *J Neurosurg* 27: 369, 1993.
93. Lodge D, Hather NY, Jones MG, et al: Electropharmacological evidence for glutamate receptor subtypes. In: Meldrum BS, Moroni F, Simon RP, et al (eds): *Excitatory Amino Acids*: Raven Press, 1991.
94. McIntosh TK, Smith DH, Thomas M, et al: Comparison of competitive vs. noncompetitive N-methyl-D-aspartate (NMDA) antagonists in the treatment of experimental brain injury. *Neurochem Int* 2:15, 1990.
95. Miller RJ: Metabotropic excitatory amino acid receptors reveal their true colors. *Trends Pharmacol Sci* 12:365, 1991.
96. Houamed KM, Kuijper JL, Gilbert TL, et al: Cloning, expression and gene structure of a G protein coupled glutamate receptor from rat brain. *Science* 252:1318, 1991.
97. Zaloga GP, Chernow B: Hypocalcemia in critical illness. *JAMA* 256 (14):1924, 1986.
98. Zaloga GP, Chernow B, Cook D, et al: Assessment of calcium homeostasis in the critically ill surgical patient. *Crit Care Med* 12:236, 1984.
99. Zaloga GP, Wilkne R, Tourville J et al: A simple method for determining physiologically active calcium and magnesium concentrations in critically ill patients. *Crit Care Med* 15:813, 1987.
100. Siesjö BK: Basic mechanisms of traumatic brain damage. *Ann. Emerg Med* 22:959, 1993.
101. Horrocks LA, Dorman RW, Porcellati G: Fatty acids and phospholipids in brain during ischemia. In: Bes A, Braquet P, Paoletti R, Siesjö BK (eds): *Cerebral ischemia*. Elsevier Science Publishers B. V., Excerpta Medica, Amsterdam-New York-Oxford, 1984.
102. McCord J: Oxygen-derived free radicals in postischemic injury. *A Engl J Med* 312:159, 1985.
103. Snyder SH, Bredt DS: Biological roles of nitric oxide. *Scientific American* 266:68, 1992.
104. Hall ED: The role of oxygen radical in traumatic injury: Clinical implications. *J Emerg Med* 11:S31, 1993.
105. Braughler JM, Hall ED: Central nervous system trauma and stroke: I. Biochemical consideration for oxygen free radical formation and lipid peroxidation. *Free Radic Biol Med* 6:289, 1989.
106. Hall ED: Inhibition of lipid peroxidation in CNS trauma. *J Neurotrauma* 8(Suppl 1):S31, 1991.
107. Yamada K, Teraoka T, Morita S et al: ω-Conotoxin GVIA protects against ischemia-induced neuronal death in the Mongolian gerbil but not against quinolinic acid-induced neurotoxicity in the rat. *Neuropharmacology* 33:251, 1994.
108. McClain CJ, Cohen D, Ott L, et al: Ventricular fluid interleukin-1 activity in patients with head injury. *J Lab Clin Med* 110:48, 1987.
109. Goodman JC, Robertson CS, Grossman RG, et al: Elevation of tumor necrosis factor in head injury. *J Neuroimmunol* 30:213, 1990.
110. McClain CJ, Cohen D, Philips R, et al: Increased plasma and ventricular fluid interleukin-6 levels in patients with head injury. *J Lab Clin Med* 118:225, 1991.
111. Gershenwald JE, Fong Y, Fahey TJ, et al: Interleukin-1 receptor blockade attenuates the host inflammatory response. *Proc Natl Acad Sci USA* 87:4966, 1990.
112. Ramadori G, Damme J, Rieder H, et al: Interleukin-6, the third mediator of acute phase reaction, modulates hepatic protein synthesis in human and mouse: Comparison with interleukin 1 beta and necrosis factor alpha. *Eur J Immunol* 18:1259, 1988.
113. Breder CD, Dinarello CA, Saper CB: Interleukin-1, immunoreactive innervation of the hypothalamus. *Science* 240:321, 1988.
114. Rodriguez JL, Miller CG, Miller SG, et al: Correlation of the local and systemic cytokine response with clinical outcome following thermal injury. *J Trauma* 34:684, 1993.
115. Feuerstein GZ, Liu T, Barone FC: Cytokines, inflammation and brain injury: Role of tumor necrosis factor. *Brain Metab Rev* 6:341, 1994.
116. Fong Y, Moldawer LL, Shires T et al: The biologic characteristic of cytokines and their implication in surgical injury. *Surg Gynecol Obstet* 170:363, 1990.
117. Mattson M, Cheng B: Growth factors protect neurons against excitotoxic/ischemic insults by stabilizing calcium homeostasis. *Stroke* 24:1136, 1993.
118. Juul A, Morris G, Marshall S, Marshall L: Intracranial hypertension and cerebral perfusion pressure: Influence on neurological deterioration and outcome in severe head injury. *J Neurosurg* 92:1-6, 2000.
119. Mathiesen T, Kakarieka A, Edner G: Traumatic intracerebral lesions without extracerebral hematoma in 218 patients. *Acta Neurochir (Wien)* 137:155-163, 1995.
120. Miller JD: Head injury and brain ischaemia: Implications for therapy. *Br J Anaesth* 57:120-130, 1985.
121. Bullock R, Maxwell W, Graham D, Teasdale G, Adams J: Glial swelling following human cerebral contusion: An structural study. *J Neurol Neurosurgery Psychiatry* 54:427-431, 1991.
122. Siesjö BK: Pathophysiology and treatment of focal cerebral ischemia: Part I - Pathophysiology. *J Neurosurg* 77:169-184, 1992.

123. Siesjö BK: Pathophysiology and treatment of focal cerebral ischemia: Part II – Mechanism of damage and treatment. *J Neurosurg* 77:337-354, 1992.
124. Teasdale G, Graham D: Craniocerebral trauma: Protection and retrieval of the neuronal population after injury. *Neurosurgery* 43:723-738, 1998.
125. Schröder ML, Muizelaar JP, Bullock MR, Salvant JB, Povlishock JT: Focal ischemia due to traumatic contusions documented by Stable xenon. CT and ultrastructural studies. *J Neurosurg* 82:966-971, 1995.
126. McLauhlin MR, Marion DW: Cerebral blood flow and vasoresponsivity within and around cerebral contusions. *J Neurosurg* 85:871-876, 1996.
127. von Oettingen G, Berholt B, Gyldensted C, Astrup J: Blood flow and ischemia within traumatic cerebral contusions. *Neurosurgery* 50:781-790, 2002.
128. Young B, Ott L: Chapter 25 Nutritional and metabolic management of the head-injured patient, in Narayan RK, Wilberger JE, Povlishock JT (Eds): *Neurotrauma*. New York: McGraw-Hill, 345-364, 1996.
129. Sturat FP, Torres E, Fletcher R et al: Effects of single, repeated and massive mannitol infusion on the dog: Structural and functional changes in the kidney and brain. *Ann Surg* 172:190, 1970.
130. Dorman HR, Sondheimer JH, Cadnapaphornchai P: Mannitol induced acute renal failure. *Medicine (Baltimore)* 69:153, 1990.
131. Darby JM, Nelson PB: Fluid, electrolyte, and acid-base balance in neurosurgical intensive care, in Andrews BT (ed): *Neurosurgical Intensive Care*. New York: McGraw-Hill, 1993: 133-162.
132. Cserr HF, dePasquale M, Patlak CS: Volume regulatory influx of electrolytes from plasma to brain during acute hyperosmolality. *Am J Physiol* 253:F530, 1987.
133. Thurston JH, Hauhart RE: Brain amino acids decrease in chronic hyponatremia and rapid correction causes brain dehydration: Possible clinical significance. *Life Sci* 40:2539, 1987.
134. Needleman P, Grenwald JE: Atrial natriuretic factor: A cardiac hormone intimately involved in fluid, electrolyte and blood pressure homeostasis. *Eur J Clin Invest* 14:828, 1986.
135. Amson WK: Atrial natriuretic factor and the central nervous system. *Endocrinol Metab Clin North Am* 16:145, 1987.
136. Doczi T, Joo F, Szerdahelyi P, Bodosi M: Regulation of brain water and electrolyte content: The possible involvement of central atrial natriuretic factor. *Neurosurgery* 21:454, 1987.
137. Robertson GL: The regulation of vasopressin function in health and disease. *Recent Prog Horm Res* 33:333, 1977.
138. Doszi T, Tarjanyi J, Huszka E, Kiss J: Syndrome of inappropriate secretion of antidiuretic hormone (SIADH) after head injury. *Neurosurgery* 10:685, 1982.
139. Steinbok P, Thompson GB: Metabolic disturbances after head injury: Abnormalities of sodium and water balance with special reference to the effects of alcohol intoxication. *Neurosurgery* 3:9, 1978.
140. Padilla G, Leake JA, Castro R et al: Vasopressin levels and pediatric head trauma. *Pediatrics* 83:700, 1989.
141. Shimoda M, Yamada S, Yamamoto I et al: Atrial natriuretic polypeptide in patients with subarachnoid hemorrhage due to aneurysm rupture: Correlations to hyponatremia. *Acta Neurochir (Wien)* 97:53, 1989.
142. Wijdicks EFM, Van Dongen KJ, Vangijn J et al: Enlargement of the third ventricle and hyponatremia in aneurysmal subarachnoid hemorrhage. *J Neurol Neurosurg Psychiatry* 51:516, 1988.
143. Takaku A, Shindo K, Tanaka S et al: Fluid and electrolyte disturbances in patients with intracranial aneurysms. *Surg Neurol* 11:349, 1979.
144. Mackenzie CF, Shin B, Krishnaprasad D et al: Assessment of cardiac and respiratory function during surgery on patients with acute quadriplegia. *J Neurosurg* 62:843, 1985.
145. Mather H, Ang V, Jenkins JS: Vasopressin in plasma and CSF of patients with subarachnoid hemorrhage. *J Neurol Neurosurg Psychiatry* 44:216, 1981.
146. Cort JH: Cerebral salt wasting. *Lancet* 1:752, 1954.
147. Peters JP, Welt LG: A salt wasting syndrome associated with cerebral disease. *Trans Assoc Am Physicians* 63:57, 1950.
148. Nelson PB, Seif S, Gutai J, Robinson AG: Hyponatremia and natriuresis following subarachnoid hemorrhage in a monkey model. *J Neurosurg* 60:23, 184.
149. Wijdicks EFM, Ropper AH, Hunnicut EJ, et al: Atrial natriuretic factor and salt wasting after aneurysmal subarachnoid hemorrhage. *Stroke* 22:1519, 1991.
150. Vingerhoets F, De Tribolet A: Hyponatremia hypoosmolality in neurosurgical patients: "Appropriate secretion of ADH" and "cerebral salt wasting syndrome". *Acta Neurochir (Wien)* 91:50, 1988.
151. Ishikawa SE, Saito T, Aneko K, et al: Hyponatremia responsive to fluidrocortisone acetate in elderly patients after head injury. *Ann Intern Med* 106:187, 1987.
152. Nelson PB, Seif SM, Maroon JC, Robinson AG: Hyponatremia in intracranial disease: Perhaps not the syndrome of inappropriate secretion of antidiuretic hormone (SIADH). *J Neurosurg* 55:938, 1981.
153. Edwards OM, Clark JA: Post-traumatic hypopituitarism. *Medicine (Baltimore)* 65: 281, 1986.
154. Bigham WF: The limits of cerebral dehydration in the treatment of head injury. *Surg Neurol* 25:340, 1986.
155. Kahn A, Brachet E, Blum D: Controlled fall in natremia and risk of seizures of hypertonic dehydration. *Intensive Care Med* 5:27, 1979.
156. Balestrieri FJ, Chernow B, Rainey T: Postcraniotomy diabetes insipidus: Who's at risk? *Crit Care Med* 10:108, 1982.
157. Coculescu M, Dumitrescu C: Etiology of cranial diabetes insipidus in 164 patients. *Endocrinologie* 22: 135, 1984.
158. Edwards OM, Clark JA: Post-traumatic hypopituitarism. *Medicine (Baltimore)*. 65:281, 1986.
159. Notman DD, Mortek MA, Moses AM: Permanent diabetes insipidus following head trauma: Observations on ten patients and an approach to the diagnosis. *J Trauma* 20:599, 1980.
160. Levitt MA, Fleischer AS, Meislin HW: Acute posttraumatic diabetes insipidus: Treatment with continuous intravenous vasopressin. *J Trauma* 24:532, 1984.
161. Fiser DH, Jiminez JF, Wrape V, Woddy R: Diabetes insipidus in children with brain death. *Crit Care Med* 15:551, 1987.
162. Outwater KM, Rockoff MA: Diabetes insipidus accompanying brain death in children. *Neurology* 34:1243, 1984.
163. Shucart WA, Jackson I: Management of diabetes insipidus in neurosurgical patients. *J Neurosurgical* 44:65, 1976.
164. Pomeranz S, Constantini S, Rappaport ZH: Hypkalemie in severe head injury. *Acta Neurochir (Wien)* 97:62, 1989.
165. Zaloga GP, Chernow B: Hypocalcemia in critical illness. *JAMA* 256(14):1924, 1986.
166. Zaloga GP, Wilkens R, Tourville J, et al: A simple method for determining physiologically active calcium and magnesium concentrations in critically ill patients. *Crit Care Med* 15:813, 1987.
167. Zaloga GP, Chernow B, Cook D, et al: Assessment of calcium homeostasis in the critically ill surgical patients. *Crit Care Med* 12:236, 1984.
168. Sugar O: Central neurological manifestations of hypoparathyroidism. *Arch Neurol Psychiatry* 70:86, 1953.

169. Chernow B, Smith J, Rainey TG, Finto C: Hypoglycemia: Implications for the critical care specialist. *Crit Care Med* 10:193, 1982.
170. Gadisseux P, Sica DA, Ward JD, Becker DP: Severe hypophosphatemia after head injury. *Neurosurgery* 17:35, 1985.
171. Knochel JP: The clinical status of hypophosphatemia. *A Engl J Med* 313:447, 1985.
172. Fencel V, Rossing TH: Acid-base disorders in critical care medicine. *Annu Rev Med* 40:17, 1989.
173. Narins RG, Emmett M: Simple and mixed acid-base disorders: A practical approach. *Medicine (Baltimore)* 59:161, 1980.
174. Arieff AI, Kerian A, Massry SG, DeLima J: Intracellular pH of brain: Alterations in acute respiratory acidosis and alkylolysis. *Am J Physiol* 230:804, 1976.
175. Muizelaar JP, van der Poel HG, Li Z, et al: Pial arteriolar vessel diameter and CO<sub>2</sub> reactivity during prolonged hyperventilation in the rabbit. *J Neurosurg* 69:923, 1988.
176. Andrews BT: The intensive care management of patients with head injury, in Andrews BT (ed): *Neurosurgical Intensive Care*. New York: McGraw-Hill, 1993:227-242.
177. Frost EAM: The physiopathology of respiration in neurosurgical patients. *J Neurosurg* 50:699, 1979.
178. Marion D, Darby J, Yonas H: Acute regional cerebral flow changes caused by severe head injury. *J Neurosurg* 74:407, 1991.
179. Kennealy JA, McLennan JE, Loudon RG, McLaurin RL: Hyperventilation-induced cerebral hypoxia. *Am Rev Respir Dis* 122:407, 1980.
180. North JB, Jennet S: Abnormal breathing patterns associated with acute brain damage. *Arch Neurol* 31:338, 1974.
181. Bumba J, Kusák I, Novák K: Změny minerálního metabolismu při zduřených poraněních. *Biochem. Clin. Bohemoslov.*, 11:151-161, 1982.
182. Friedman BS, Lumb PD: Prevention and management of metabolic alkylolysis. *Intensive Care Med* 5(suppl):S22, 1990.
183. Marie C, Bralet J: Blood glucose level and morphological brain damage following cerebral ischemia. *Cerebrovasc Brain Metab Rev* 3:29, 1991.
184. Merguerian P, Perel A, Wald U, et al: Persistent nonketotic hyperglycemia as a grave prognostic sign in head-injured patients. *Crit Care Med* 9:939, 1989.
185. Hazard RB, Griffin JP: Calculation of sodium bicarbonate requirement in metabolic acidosis. *Am J Med Sci* 283(1):18, 1982.
186. Haider W, Benzer H, Kryptof G: Urinary catecholamine excretion and thyroid hormone blood levels in the course of severe acute brain damage. *Eur J Intensive Care Med* 1:115-123, 1975.
187. Hortnagl H, Hammerle AF, Hackl JM, et al: The activity of the sympathetic nervous system following severe head injury. *Intensive Care Med* 6:169-177, 1980.
188. Rosner MJ, Newsome HH, Becker DP: Mechanical brain injury: The sympathoadrenal response. *J Neurosurg* 61:76-86, 1984.
189. Worstman J, Frank S, Cryer PE: Adrenomedullary response to maximal stress in humans. *Am J Med* 77:779-784, 1984.
190. Cryer PE: Physiology and pathophysiology of the human sympathoadrenal neuroendocrine system. *A Engl J Med* 303:436-444, 1980.
191. Landsberg L, Young JB: Catecholamines and the adrenal medulla, in Wilson JD, Foster DW (eds): *Textbook of Endocrinology*. Philadelphia, W.B. Saunders Co., 1985, ed 7, pp. 891-896.
192. Clifton GL, Ziegler MG, Grossman RG: Circulating catecholamines and sympathetic activity after head injury. *Neurosurgery* 8:10-13, 1981.
193. Hamill RW, Woolf PD, McDonald JV, et al: Catecholamines predict in traumatic brain injury. *Ann Neurol* 21:438-443, 1987.
194. Woolf PD, Hamill RW, Lee LA, et al: The predictive value of catecholamines in assessing outcome in traumatic brain injury. *J Neurosurg* 66:875-888, 1987.
195. Langfitt TW, Weinstein JD, Kassel NF: Cerebral vasomotor paralysis produced by intracranial hypertension. *Neurology* 15:622-641, 1965.
196. De Salles AAF, Muizelaar JP, Young HF: Hyperglycemia, cerebrospinal fluid lactic acidosis, and cerebral blood flow in severely head-injured patients. *Neurosurgery* 21:45-50, 1987.
197. Woo E, Ma JTC, Robinson JD, Yu YL: Hyperglycemia is a stress response in acute stroke. *Stroke* 19:1359-1364, 1988.
198. King LR, Knowles HC Jr, McLaurin RL, Lewis HP: Glucose tolerance and plasma insulin in cranial trauma. *Ann Surg* 173:337-343, 1971.
199. Lam AM, Winn HR, Cullen BF, Sundling A: Hyperglycemia and neurological outcome in patients with head injury. *J Neurosurg* 75:545-551, 1991.
200. Mouawad E, Van Laera E: Blood sugar disturbances in patients with head injuries [in French]. *Neurochirurgie* 19:456/464, 1973.
201. Pentelenyi T, Kammerer L: Changes in blood glucose after head injury and its prognostic significance. *Injury* 8:264-268, 1977.
202. Young B, Ott L, Dempsey R, et al: Relationship between admission hyperglycemia and neurologic outcome of severely brain-injured patients. *Ann Surg* 210:466-473, 1989.
203. D'Alecy LG, Lundy EF, Barton KJ, Zelenock GB: Dextrose containing intravenous fluid impairs outcome and increases death after eight minutes of cardiac arrest and resuscitation in dogs. *Surgery* 100:505-511, 1986.
204. de Courten-Myers GM, Myers RE, Schoolfield L: Hyperglycemia enlarges infarct size in cerebrovascular occlusion in cats. *Stroke* 19:623-630, 1988.
205. Ginsberg MD, Welsh FA, Budd WW: Deleterious effect of glucose pretreatment on recovery from diffuse cerebral ischemia in the cat: Part I-Local cerebral blood flow and glucose utilization. *Stroke* 11:347-354, 1980.
206. Lenier WL, Stangland K, Scheithauer BW, et al: The effects of dextrose infusion and head position on neurologic outcome after complete cerebral ischemia in primates: Examination of a model. *Anesthesiology* 66:39-48, 1987.
207. Longstreth WT Jr, Inui TS: High blood glucose level on hospital admission and poor neurological recovery after cardiac arrest. *Ann Neurol* 15:59-63, 1984.
208. Pulsinelli WA, Levy DE, Sigsbee B, et al: Increased damage after ischemic stroke in patients with hyperglycemia with or without established diabetes mellitus. *Am J Med* 74:540-544, 1983.
209. Pulsinelli WA, Waldman S, Rawlinson D: Moderate hyperglycemia augments ischemic brain damage: A neuropathologic study in the rat. *Neurology* 32:1239-1246, 1982.
210. Kraig RP, Petit CK, Plum F: Hydrogen ions kill brain at concentrations reached in ischemia. *J Cereb Blood Flow Metab* 7:379-386, 1987.
211. Marsh WR, Anderson RE, Sundt TM Jr: Effect of hyperglycemia on brain pH levels of focal incomplete cerebral ischemia in monkeys. *J Neurosurg* 65:693-696, 1986.

212. Graham DI, Ford I, Adams JH, et al: Ischemic brain damage is still common in fatal non-missile head injury. *J Neurol Neurosurg Psychiatry* 52:346-350, 1989.
213. Bernard C: Chiens rendus diabétiques. *C R Soc Biol (Paris)*:60, 1849.
214. Besedy PQ, Watters JM, Aoki TT, et al: Combined hormonal infusion simulates the metabolit response to injury. *Ann Surg* 200:264-281, 1984.
215. Howard JM: JM: Studies of absorption and metabolism of glucose following injury. *Ann Surg* 141:321-326, 1955.
216. Merguerian PA, Perel A, Wald U, et al: Persistent nonketotic hyperglycemia as a grave prognostic sign in head injured patients. *Crit Care Med* 9:838-840, 1981.
217. Lanzino G, Kassel NF, Germanson T, et al: Plasma glucose levels and outcome after aneurysmal subarachnoid hemorrhage. *J Neurosurg* 79: 885-891, 1993.
218. Shimazu T, Fukuda A, Ban T: Reciprocal influences of the ventriculomedial and lateral hypothalamic nuclei on blood glucose level and liver glycogen content. *Nature* 210:1178-1179, 1966.
219. McClain C, Cohen D, Philips R: Increased plasma and ventricular fluid interleukin -6 levels in patients with head injury. *J Lab Clin Med* 118:225-231, 1991.
220. Smith ML, von Hanwehr R, Siesjö BK: Changes in extra- and intracellular pH in the brain during and following ischemia in hyperglycemic and moderately hypoglycemic cats. *J Cereb Blood Flow Metab* 6:574-583, 1986.
221. Kim SH, Handa H, Ishikawa M: Brain tissue acidosis and changes of energy metabolism in mild incomplete ischemia: Topographical study. *J Cereb blood Flow Metab* 5:432-438, 1985.
222. Goldman SA, Pulsinelli WA, Clarke WY, et al: The effects of extracellular acidosis on neurons and glia in vitro. *J Cereb Blood Flow Metab* 9:471-477, 1989.
223. Rehncrona S, Hauge HN, Siesjö BK: Enhancement of ironcatalyzed free radical formation by acidosis in brain homogenates: Differences in effect by lactic and CO<sub>2</sub>. *J Cereb Blood Flow Metab* 9:65-70, 1989.
224. Siesjö BK, Wieloch T: Cerebral metabolism in ischaemia: Neurochemical basis for therapy. *Br J Anaesth* 57:47-62, 1985.
225. Kraig RP, Petito CK, Plum F: Hydrogen ions kill brain at concentrations reached in ischemia. *J Cereb Blood Flow Metab* 7:379-386, 1987.
226. Kushner M, Nencini P, Reivich M, et al: Relation of hyperglycemia early in ischemic brain infarction to cerebral anatomy, metabolism, and clinical outcome. *Ann Neurol* 28:129-135, 1990.
227. DeLoof T, Berre J, Genette F, et al: Disturbances of the carbohydrate metabolism in acute head trauma. *Acta Neurochir Suppl (Wien)* 28:113-114, 1979.
228. Penteleniy T, Kammerer L, Stutzel M, Balazsi I: Alterations of the basal serum insulin and blood glucose in brain-injured patients. *Injury* 10:201-208, 1979.
229. Rovlias A, Kotsou S: The influence of hyperglycemia on neurological outcome in patients with severe head injury. *Neurosurgery* 2:335-343, 2000.
230. Kunc Z: *Neurochirurgie*. 3. vyd. 1968.
231. Kunc Z, Fusek I: *Válečná poranění lebky a mozku* in Beneš A: *Chirurgie. Naše vojsko Praha*, 1980.
232. Kalvach P a kolektiv: *Mozkové ischemie a hemoragie*. Avicenum Praha, 1988.
233. Mraček Z: *Kraniocerebrální poranění*. Avicenum Praha, 1988.
234. R.Kett-Whitte et al: *Multi-Modal Monitoring of Acute Brain Infury in Advances an Technical Standards in Neurosurgery*, Vol 27, Springer – Wien, NewYork, 2002.
235. Teasdale G, Jennet B: Assessment of coma and impaired consciousness: a practical scale, *Lancet* 2:81-84, 1974.
236. Jennet B, Bond M: Assessment of outcome after severe brain damage. *Lancet* 1: 480, 1975.
237. Kolář Z: *Úvod do molekulární patologie a onkologie*. Vydavatelství Palackého univerzity, Olomouc, 1997: 48.
238. Rosypal S: *Úvod do molekulární biologie*. Díl 2. *Molekulární biologie eukaryot*. 3. Ed. Brno Stanislav Rosypal, 1999: 300s.

## VII. Seznam zkratek

ADH	antidiuretický hormon
ANP	atriový natriuretický peptid
AP	arterial pressure – tepenný tlak
AVDO2	arterio-venózní diference O <sub>2</sub>
CBF	cerebral blood flow – průtok krve mozdem
CBV	cerebral blood volume – objem krve v mozku
CMRO2	cerebral metabolic rate of oxygen – mozkový metabolismus kyslíku
CNS	centrální nervový system
CPP	cerebral perfusion pressure – mozkový perfuzní tlak
CSWS	cerebral salt wasting syndrome – mozkový syndrome ztráty soli
CT	computerová (počítačová) tomografie
CVR	cerebrovascular resistance – mozkový cévní odpor
DI	diabetes insipidus
GCS	Glasgow Coma Scale
GOS	Glasgow Outcome Scale
HEB	hematoencefalická bariéra
ICH	intracerebrální hematom
ICP	intracranial pressure – intrakraniální tlak
KCP	kranocerebrální poranění
MA(B)P	mean arterial (blood) pressure – střední arteriální (krevní) tlak

MR	magnetická rezonance
NIRS	near infrared spectroscopy, regionální saturace hemoglobinu kyslíkem
PVI	pressure-volume index – tlakově-objemový index
PtiO <sub>2</sub>	parciální tlak kyslíku v mozkové tkáni
SIADH	syndrome od inappropriate ADH – syndrome neadekvátní sekrece ADH
SvJO <sub>2</sub>	jugulární oxymetrie
VP	venous pressure – žilní tlak

## VIII. Summary

Patients with a brain injury must overcome a central neurological insult and a systematic metabolic response. The systematic response includes hypermetabolism, hypercatabolism, altered vascular permeability, increased hormone and cytokine release, altered gastric emptying, altered mineral metabolism and altered immune status. This response may initiate mechanisms which lead to secondary brain injury and may adversely affect the function of other organs.

Last two decades have improved our knowledge of pathophysiology in patients with primary and secondary brain injury including traumatic contusions. In a moment of injury, primary brain injury which is traumatic contusion can not be therapeutically prevented it can only have a preventive effect. Secondary brain injury can be therapeutically affected although both types of injuries have common pathophysiological signs of disturbed metabolism on cells and subcellular level. Research methods based on molecular biology opens a new zone of research reaction of central neurological system for trauma or ischemia with effort to get involved immediately at the beginning of developing adverse pathophysiological cascade leading to a death of neurotic cell.

The brain contusion is a primary centre of brain injury with anatomic changes which can be graphically proved. In the course of multinumerous or large contusions, a dynamic progress is gradually leading to global symptoms with decline of consciousness on the strength of progression of cerebral edema and dynamic changes in contusion centre. While in its centre ischemia can lead to necrotic tissues in the near surrounding, in pericontusional zone (penumbra) causes disorder of cerebral blood flow of starting apoptosis cascade leading to a death of brain cell.

A connection between intracranial cerebral pressure (ICP), cerebral perfusion pressure (CPP) and cerebral blood flow (CBF) is integrated and dynamic. In principle a supply of oxygen and energetic substrate on the way through blood stream is dropping by increasing pressure in the skull. Understanding of pathophysiological circumstances is supporting component of diagnostical and medical process. Cerebral multimodal monitoring of patient in departments of intensive care is focused on monitoring of dynamic parameters indicating secondary brain injury. In return it enables to optimise medical procedure and some parameters may be used for predictions of treatment results.

An extensive brain contusion with perifocal or difussed oedema is accompanied with increase of intracranial cerebral pressure, brain ischemia, hypoxia, lactate congestion, ion disbalance, stress response which includes hyperglycemia.

51 patients with brain contusion were monitored having consciousness disorder on their entry in a range of GCS 3-8. These patients were treated in departments of intensive care in Department of Neurosurgery or Anaesthesiology, Charles University Hospital in Pilsen in years 2000-2005. All patients were monitored, made sedation, relaxation and were ventilated. In all patients intracranial cerebral pressure was monitored and levels of osmolality, glycemia, lactate, sodium and potassium were also followed. A dynamic range of these changes was correlated with clinical result of treatment – Glasgow Outcome Scale (GOS). A favourable neurological result (GOS 4-5) was reached in 28 patients, an unfavourable in 23 patients, 8 of them died. After 6 months in 43 patients who survived final average of GCS was 11, Karnovsky score was 61,2. In patients with favourable GOS, value of ICP reached lower levels, the same as entry and final levels of glycemia and lactate than in the patients with unfavourable neurological result. The entry level of lactate in the patients with unfavourable GOS substantially exceeded normal span and became significant, independent and prognostic factor of poor prognosis. On the other hand final lactate in unfavourable GOS was in physiological span and did not have any prognostic importance. In the start the patients who died had significant initial hyponatremia, intracranial hypertension, hyperglycemia and permanent hyperosmolality. The factors statistically endorsing unsatisfactory result of GOS with intracranial pressure are: age of patients above 60 years - having 25 times higher risk of reaching result of GOS 1-3, patients with S-Na >142 mmol/l projective factor of GOS 1-3 and osmolality >301 mosmol/l with 6 times higher risk of GOS 1-3. The most significant unfavourable prognostic impact had actual presence of original intracranial pressure in combination with hyperglycemia, hyperlactemia and

hyperosmolality. Together they introduce indicators of brain injuries degree and they predict poor therapeutic result in these patients.

## IX. Seznam publikací a přednášek

### Publikace

#### Autor

1. **Škúci I.** Operace pacientů s poraněním mozku, kapitola 10, s. 127-167 in Smrčka M. a kol.: Poranění mozku, Grada Publishing, Praha, 2001, 272 + 6 stran bar. přílohy. 1. Vydání, ISBN 80-7169-820-2
2. **Škúci I.** Léčba komplikací osteoporózy páteře z pohledu neurochirurga (Soubor prací IV. celostátní konference SEKUNDÁRNÍ OSTEOPORÓZA, Plzeň, 4/2000, vyšlo v únoru 2002: Sekundární osteoporóza, str. 49-51, ISBN 80-900692-9-0)
3. **Škúci I.**, Runt V., Bludovský D. Primární lymfom mozku (Kuncův memoriál, 3/2003, Praha, Sborník přednášek – přednáška č. 18)
4. **Škúci I.**, Choc M., Runt V., Boudová L., Lysák D. Primární lymfom mozku (Pracovní dny České neurochirurgické společnosti, Praha, 12/2005, Sborník přednášek, s.)
5. **Škúci I.** Vliv intrakraniálního tlaku, glykemie, laktátu a natremie na výsledný stav pacientů s kontuzí mozku Poster (Pracovní dny České neurochirurgické společnosti ČLS JEP, Plzeň, 2006. Česká a slovenská neurologie a neurochirurgie, suppl. 3, 69/102, 2006, s. 38-39, ISSN 120-7859)
6. **Škúci I.**, Mraček Z. Krvácení do nervového systému vyvolané antikoagulační terapií (Postgraduální lékařské dny, Plzeň, 2007, Sborník přednášek v tisku)

#### Spoluautor

1. Mraček Z., **Škúci I.** Epidurální hematom v zadní lebeční jámě Zkušenosti s 18 zraněnými. Čes. a slov. Neurol. Neurochir., 62/95, No.6, p.336-339
2. Vacek P., **Škúci I.**, Rohan V., Runt V. Replantage kostní ploténky po kraniektomii Poster (Sborník Pracovní dny České neurochirurgické společnosti 9/1999, Plzeň, Téma: Kranio-cerebrální poranění, nádorová onemocnění mozku, Sborník v tisku r. 2000).
3. Runt V., Choc M., **Škúci I.**, Navrátil L. Úloha neurochirurga v léčbě polytraumat (Postgraduální lékařské dny, Plzeň 2/2003, Civilizační choroby II. – sborník přednášek, s. 22, )
4. Choc M., Runt V., Navrátil L., **Škúci I.**, Mraček J. Indications to decompressive Craniotomy (Preceedings of the XII. Congress of European Association of Neurosurgical Societies, pp. 627-630, Portugal, Lisboa, 2003, Volume ISBN 88-323-3149-7, CD ISBN 88-323-3150-0)
5. Choc M., **Škúci I.**, Herejková I. Vaskulární komplikace manipulace krční páteří (XXXII. Česko – slovenské neurovaskulární sympozium, 6/2004, Zlín, Česká a slovenská neurologie a neurochirurgie, 67/100, Suppl. s. 42)
6. Choc M., **Škúci I.**, Herejková I. Vaskulární komplikace manipulace krční páteří (Kuncův memoriál, Praha, 3/2006, sborník přednášek s. 20-21)

### Přednášky

#### Autor

1. **Škúci I.** Tuberkulózní spondylitis (Pracovní schůze Spolku lékařů ČLS JEP v Plzni, 3/1993)
2. **Škúci I.** Nádory periferních nervů (Pracovní schůze Spolku lékařů ČLS JEP v Plzni, 3/1994)
3. **Škúci I.** Diagnostické problémy s krvácejícím aneurysmatem na a. basilaris (Pracovní schůze Spolku lékařů ČLS JEP v Plzni, 3/1995)
4. **Škúci I.**, Jelínek J. Význam sledování dětí po drenážních operacích hydrocefalu (Pracovní dny České a slovenské neurochir. společnosti, Brno, 10/1995).
5. **Škúci I.** Chirurgická léčba neztišitelné bolesti hrudní a břišní stěny (Vědecká konference, Plzeňské lékařské dny, Plzeň, 2/1996).
6. **Škúci I.** N. accessorius – nejčastěji iatrogeně zraňovaný nerv (Pracovní schůze Spolku lékařů ČLS JEP v Plzni, 3/1996)
7. **Škúci I.**, Mraček Z., Navrátil L. Akutní epidurální hematomy v zadní jámě lební (Sjezd České a Slovenské neurochirurgické společnosti, Hradec Králové, 1997)
8. **Škúci I.**, Choc M., Mraček Z. Prevence komplikací frontobazálních a temporobazálních poranění (Vědecké konference, Plzeňské lékařské dny, 2/1998)



9. **Škúci I.**, Runt V., Choc M., Vacek P. Přední přístup ke krční páteři (Pracovní schůze Spolku lékařů ČLS JEP v Plzni, 3/1998)
10. **Škúci I.**, Mraček Z. Krvácení do nervového systému vyvolané antikoagulační terapií (Pracovní dny České a Slovenské neurochirurgické společnosti, Ústí nad Labem, 1998)
11. **Škúci I.**, Choc M., Mraček J. Priority v akutní diagnostice a léčbě pacientů s kraniocerebrálním poraněním (V. kongres ČSARIM s mezinárodní účastí, Plzeň, 1998)
12. **Škúci I.**, Mraček Z. Krvácení do centrálního nervového systému vyvolané antikoagulační terapií (Vědecká konference, Plzeňské lékařské dny, 2/1999)
13. **Škúci I.**, Rohan V. Tuberkulózní spondylitis – stále aktuální problém (Pracovní schůze Spolku lékařů ČLS JEP v Plzni, 3/1999)
14. **Škúci I.** Lymfomy mozku (Pracovní schůze Spolku lékařů ČLS JEP v Plzni, 3/2000)
15. **Škúci I.** Osteoporóza páteře u neurochirurgicky nemocných (Vědecká konference - Plzeňské lékařské dny 2/2000, Mezinárodní konference Společnosti pro poruchy kostního metabolismu, Plzeň, 4/2000)
16. **Škúci I.**, Mraček J. Vážné infekční komplikace po „banálních“ analgetických obtřicích (Pracovní schůze Spolku lékařů ČLS JEP v Plzni, 3/2001)
17. **Škúci I.** Metastatické onemocnění mozku (2. Regionální neurologická konference, Neurologické oddělení Okresní nemocnice a Spolku lékařů ČLS JEP, Cheb, XI/2002)
18. **Škúci I.**, Choc M., Herejková I. Komplikace manipulace krční páteří (Pracovní schůze Spolku lékařů ČLS JEP, Plzeň 3/2004)
19. **Škúci I.**, Choc M., Runt V., Boudová L., Lysák D. Primární lymfom mozku (Pracovní dny České neurochirurgické společnosti, Praha, 12/2005)
20. **Škúci I.**, Mraček Z. Krvácení do nervového systému vyvolané antikoagulační terapií (Postgraduální lékařské dny, Plzeň, 2/2007)
21. **Škúci I.** Úžínové syndromy (Seminář revmatologů Plzeňského a Karlovarského kraje, Plzeň, 2/2007)
22. **Škúci I.** Iatrogenní hnisání v kanálu páteřním (Pracovní schůze Spolku lékařů ČLS JEP v Plzni, 3/2007)
23. **Škúci I.**, Choc M., Boudová L., Lysák D. Primární lymfom mozku (Interim Meeting, Tále, Slovensko, 3/2007)

#### **Spoluautor**

1. Choc M., Runt V., **Škúci I.** Spondylolisthesis as a Neurological Problem (First Polish-Czech-Slovak Symposium of Neurosurgical Societies, Polanica Zdrój, Poland, 1996)
2. Runt V., Choc M., **Škúci I.**, Navrátil L., Židek S. Úloha neurochirurga v léčbě polytraumat (Postgraduální dny, Plzeň, 2/2003, Pracovní schůze Spolku lékařů ČLS JEP, 3/2003)
3. Choc M., **Škúci I.**, Herejková I. Vaskulární komplikace manipulace krční páteří (XXXII. Česko – slovenské neurovaskulární sympozium, 6/2004, Zlín)
4. Rohan V., Choc M., Runt V., Navrátil L., **Škúci I.** Efekt dekompresivní kraniotomie u hemisferálních ischemických lézí (Pracovní schůze Spolku lékařů ČLS JEP, Plzeň, 3/2004)
5. Choc M., **Škúci I.**, Herejková I. Vaskulární komplikace manipulace krční páteří (Kuncův memoriál, Praha 3/2006)
6. Štruncová V., Sedláček D., Kastner J., **Škúci I.**, Kasal E, Bergerová T. Nitrolební komplikace meningitidy (Pracovní schůze Spolku lékařů ČLS JEP, Plzeň, 11/2006)

